



## รายงานการวิจัย

วิธีการปรับแต่งสำหรับแผนการถ่วงน้ำหนักของตัวก่อรูปลำคลื่นแบบ  
หลายลำคลื่นในแถบความถี่กว้าง

**Refinement Method for Weighting Scheme of Multi-beam Former  
in Wide Frequency Band**

ชยานิษฐ์ บุญสนิท

Chayanit Bunsanit

คณะวิศวกรรมศาสตร์  
มหาวิทยาลัยเทคโนโลยีราชมงคลครีวิชัย

ได้รับการสนับสนุนจากมหาวิทยาลัยเทคโนโลยีราชมงคลครีวิชัย  
งบประมาณเงินรายได้ประจำปี พ.ศ. 2557

## กิตติกรรมประกาศ

งานวิจัยในครั้งนี้สำหรับลูกค้า ไปด้วยดี โดยต้องขอบคุณผู้ที่มีส่วนผลักดันให้ งานวิจัยนี้เกิดขึ้น คือ คณะกรรมการศาสตร์ และสถาบันวิจัยและพัฒนา มหาวิทยาลัยเทคโนโลยีราชมงคลครุวิชัย โดยทุนที่ได้รับเป็นทุนนักวิจัยหน้าใหม่ งบประมาณรายได้ ประจำปี 2557 เพื่อ ส่งเสริมให้อาจารย์รุ่นใหม่ได้จัดทำงานวิจัยอย่างต่อเนื่องในสถาบันการศึกษา และขอบคุณใน ส่วนของเจ้าหน้าที่ของคณะกรรมการศาสตร์ และสถาบันวิจัยและพัฒนา มหาวิทยาลัยเทคโนโลยี ราชมงคลครุวิชัย ที่ให้ความอนุเคราะห์ทำให้งานวิจัยในครั้งนี้สำเร็จลุล่วงไปด้วยดี และสามารถนำ ผลงานที่ได้จากการวิจัยนี้ไปเผยแพร่ทั่วในระดับชาติ และนานาชาติ

ชยานิษฐ์ บุญสนิท

กันยายน 2558

# วิธีการปรับแต่งสำหรับแผนการถ่วงน้ำหนักของตัวก่อรูปลำคลื่นแบบหลายลำคลื่นใน แบบความถี่กว้าง

**ชยานินทร์ บุญสนิก**

**บทคัดย่อ**

งานวิจัยนี้ศึกษาเกี่ยวกับระบบสายอากาศเก่ง ที่ใช้ในแบบความถี่กว้าง และสามารถก่อรูปลำคลื่นได้ 2 ลำคลื่น ในเวลาเดียวกัน ระบบสายอากาศเก่งที่งานที่ย่านความถี่ 1.9-2.5 GHz ประกอบด้วยส่วนของสายอากาศและลำดับเชิงระนาบ และส่วนของการประมวลผลสัญญาณ ซึ่งใช้อัลกอริธึม IDFT ในกระบวนการคำสัมประสิทธิ์การถ่วงน้ำหนัก วิธีนี้เรียกว่า วิธีการประมวลผลเชิงตำแหน่งเพียงอย่างเดียว หรือ Only Spatial Signal Processing คำสัมประสิทธิ์ที่ได้จากวิธีนี้เราพบว่ามีช่วงของค่าถ่วงน้ำหนักที่ค่อนข้างกว้าง ดังนั้นงานวิจัยนี้จึงนำเสนอวิธีการปรับแต่งค่าสัมประสิทธิ์การถ่วงน้ำหนัก ที่ได้จากวิธี IDFT เพื่อให้ช่วงของการถ่วงน้ำหนักมีค่าช่วงที่แคบลง โดยยังคงคุณสมบัติของแบบรูปการແเพลิงงานไว้ เช่น ค่าการซึ่นมุน ค่าระดับของลำคลื่นรอง และค่าความกว้างของลำคลื่น โดยค่าต่างๆเหล่านี้มีการเบี่ยงเบนไปในเงื่อนไขที่เรากำหนด ซึ่งพบว่าวิธีการปรับแต่งสามารถลดช่วงการถ่วงน้ำหนักได้ผลดี

# Refinement Method for Weighting Scheme of Multi-beam Former in Wide Frequency Band

Chayanit Bunsanit

## Abstract

This paper presents refinement method to reduce the range between maximum and minimum value of weighting coefficients while maintaining some important characteristic of radiation pattern. The initial weighting coefficients are obtained from original beamformer algorithm employed in Only Spatial Signal Processing for Wideband smart antenna systems. The systems are designed to operate from 1.9 to 2.5 GHz and can produce two beams in the same time. Their simulation results are presented in MATLAB and show that the proposed refinement method can effectively reduce the dynamic range of weighting coefficients.

**Keywords:** Refinement, Wideband, Weighting Coefficient, Smart Antenna, Only Spatial Signal Processing.

## คำนำ

รายงานวิจัยฉบับนี้จัดทำขึ้นเพื่อรายงานผลการวิจัยในเรื่อง วิธีการปรับแต่งแผนการถ่วงน้ำหนักของตัวก่อรูปลำคลื่นแบบหลายลำคลื่นในแบบความถี่กว้าง

โดยมีเนื้อหาของรายงานดังต่อไปนี้ บทนำสู่การวิจัยและพัฒนาเทคโนโลยีด้านระบบสายอากาศเก่งซึ่งจะเน้นเกี่ยวกับระบบสายอากาศเก่งที่ใช้งานกับสัญญาณที่มีแบบความถี่กว้าง ปริมาณรวมและงานวิจัยที่เกี่ยวข้อง ทฤษฎีและหลักการที่เกี่ยวข้อง การวิเคราะห์และปรับแต่งแผนการถ่วงน้ำหนักของระบบ ผลการทดสอบการจำลองโปรแกรม และปิดท้ายด้วยการสรุปงานทั้งหมดจากการวิจัยนี้

นางสาวชยานิษฐ์ บุญสนิท

# สารบัญ

หน้า

กิตติกรรมประกาศ .....	ก
บทคัดย่อ (ภาษาไทย) .....	ค
บทคัดย่อ (ภาษาอังกฤษ) .....	ง
คำนำ.....	จ
สารบัญ.....	ฉ
สารบัญรูป .....	ช
บทที่	
1 บทนำ.....	1
1.1 ความสำคัญของปัจจุบัน.....	1
1.2 วัตถุประสงค์การวิจัย .....	3
1.3 ขอบเขตของโครงการวิจัย .....	3
1.4 กรอบแนวความคิดของการวิจัย.....	3
1.5 วิธีดำเนินการวิจัย และสถานที่ทำการทดลอง/เก็บข้อมูล .....	4
1.6 วิธีการดำเนินการวิจัย.....	4
1.7 ระยะเวลาทำการวิจัย และแผนการดำเนินงานตลอดโครงการวิจัย.....	4
1.8 ประโยชน์ที่ได้รับจากโครงการวิจัยวิธีการดำเนินการวิจัย .....	5
2 งานวิจัยที่เกี่ยวข้อง .....	6
2.1 กล่าวนำ.....	6
2.2 ระบบสายอาชญากรรมทั่วไป .....	7
2.3 ผลกระทบของແບນຄວາມຄືກັບຮະບນສາຍອາກາສເກິ່ງ .....	12
2.4 ຮະບນສາຍອາກາສເກິ່ງທີ່ໃຊ້ຈານກັບສັນຍານທີ່ມີແບນຄວາມຄືກ່າວງ .....	14
2.5 ຮະບນສາຍອາກາສເກິ່ງທີ່ທຳງານໃນແບນຄວາມຄືກ່າວງກັບກາປະລາດສັນຍານ ເຫັນຕົວແນ່ນໆເພີ້ນຢ່າງເດືອນ.....	17
2.6 การวิเคราะห์ແລະປັບປຸງແຕ່ງຄ່າສັນປະລິທິກິດຄ່ວງນໍ້າຫຼັກຂອງຕັກ່ອງຮູບປຳລົ້ນເດືອນ..	32
2.5 กล่าวสรุป.....	37

## สารบัญ (ต่อ)

หน้า

บทที่

3 การวิเคราะห์และปรับแต่งค่าสัมประสิทธิ์การถ่วงน้ำหนักของตัวก่อรูป laminate	
แบบหลายลักษณะในแบบความถี่กว้าง .....	38
3.1 กล่าวนำ.....	38
3.2 การปรับแต่งค่าสัมประสิทธิ์การถ่วงน้ำหนัก .....	38
4 การวิเคราะห์และปรับแต่งค่าสัมประสิทธิ์การถ่วงน้ำหนัก .....	43
4.1 กล่าวนำ.....	43
4.2 ผลการจำลองโปรแกรม .....	43
5 การออกแบบระบบสายอากาศเก่งต้านแรง .....	55
 รายการอ้างอิง.....	 57

## สารบัญรูป

หน้า

รูปที่ 2.1 โครงสร้างของระบบสายอากาศเก่ง .....	7
รูปที่ 2.2 โครงสร้างพื้นฐานของระบบสายอากาศแบบสวิตช์ลำคลื่น .....	8
รูปที่ 2.3 โครงสร้างของวงจรข่ายการก่อรูปลำคลื่นแบบ Butler Matrix .....	9
รูปที่ 2.4 แบบรูปการแผ่พลังงานของห้ง 4 ลำคลื่น ซึ่งสัมพันธ์กับตารางที่ 2.1 .....	10
รูปที่ 2.5 โครงสร้างของสายอากาศแบบปรับตัว.....	12
รูปที่ 2.6 แบบรูปการแผ่พลังงานของระบบสายอากาศเก่งที่ใช้งานที่ความถี่แบบแคบที่ 10 MHz ..	13
รูปที่ 2.7 แบบรูปการแผ่พลังงานของระบบสายอากาศเก่งที่ใช้งานที่ความถี่แบบกว้าง ที่ 500 MHz .....	14
รูปที่ 2.8 โครงสร้างของระบบสายอากาศเก่งที่ใช้งานในແນວຄວາມถືກວ້າງ ໂດຍໃຊ້ວິທີກປະມາລພລ ສ້າງຢາມເຊີງຕຳແໜ່ງແລະເວລາໂຄຮສ້າງຂອງສາຍອາກາສແບບປັບຕົວ .....	15
รูปที่ 2.9 โครงสร้างของระบบสายอากาศเก่งที่ใช้งານໃນແນວຄວາມຄືກວ້າງ ໂດຍວິທີກປະມາລ ພລສ້າງຢາມເຊີງຕຳແໜ່ງແລະຄວາມຄື .....	16
รูปที่ 2.10 ໂຄຮສ້າງຂອງระบบສາຍອາກາສເກັ່ງທີ່ໃຊ້ງານໃນແນວຄວາມຄືກວ້າງ ໂດຍວິທີກປະມາລ ພລສ້າງຢາມເຊີງຕຳແໜ່ງເພີຍອ່າງເດືອວ .....	17
รูปที่ 2.11 ໂຄຮສ້າງຂອງระบบສາຍອາກາສເກັ່ງທີ່ກ່ອຽປຸປັກລື່ນ ໂດຍວິທີກປະມາລພລເຊີງຕຳແໜ່ງ ເພີຍອ່າງເດືອວ .....	18
รูปที่ 2.12 ຄວາມສັມພັນຮູບອົງນຸມໃນສາມາດທີ່ 3.9 ບນຮະນານ $n_1 - n_2$ .....	20
รูปที่ 2.13 ຕ້າວອ່າງການກຳໜັດທີສາທາງຂອງກ່ອຽປຸປັກລື່ນ ແລະແນວຄວາມຄືທີ່ໃຊ້ງານ .....	22
รูปที่ 2.14 ພຶ້ງກໍ່ຂັ້ນ $H$ ໃນບນຮະນານ $n_1 - n_2$ ທີ່ສາມາດພູດລື່ນຫລັກຫຼືທີ່ນຸມ $\phi_0 = 30^\circ$ .....	23
รูปที่ 2.15 ແບນຮູປາກຣແພ່ພລັງງານທີ່ຄວາມຄື 2.2 GHz ເມື່ອທີ່ສາມາດພູດລື່ນຫລັກຫຼືທີ່ນຸມ $\phi_0 = 30^\circ$ .....	25
รูปที่ 2.16 ແບນຮູປາກຣແພ່ພລັງງານທີ່ຄວາມຄື 1.9-2.5 GHz ເມື່ອທີ່ສາມາດພູດລື່ນຫລັກຫຼືທີ່ນຸມ $\phi_0 = 30^\circ$ ..	25
รูปที่ 2.17 ແບນຮູປາກຣແພ່ພລັງງານຂອງສາຍອາກາສນາດ $20 \times 20$ ທີ່ຄວາມຄື 1.9-2.5 GHz.....	25
รูปที่ 2.18 ແບນຮູປາກຣແພ່ພລັງງານຂອງສາຍອາກາສນາດ $50 \times 50$ ທີ່ຄວາມຄື 1.9-2.5 GHz ເມື່ອທີ່ສາມາດພູດລື່ນຫລັກຫຼືທີ່ນຸມ $\phi_0 = 30^\circ$ .....	26

## สารบัญรูป

### หน้า

รูปที่ 2.19	แบบรูปการแผ่พลังงานเมื่อใช้ฟังก์ชันเชบีเชฟที่ความถี่ 2.2 GHz เมื่อทิศของพุคลีนหลักที่มุม $\phi_0 = 30^\circ$ .....	28
รูปที่ 2.20	แบบรูปการแผ่พลังงานเมื่อใช้ฟังก์ชันเชบีเชฟที่ความถี่ 1.9-2.5 GHz เมื่อทิศของพุคลีนหลักที่มุม $\phi_0 = 30^\circ$ .....	28
รูปที่ 2.21	ฟังก์ชัน $H$ บนระนาบ $u_1 - u_2$ ที่มุม $-50^\circ$ และ $65^\circ$ .....	28
รูปที่ 2.22	แบบรูปการแผ่พลังงานของระบบสายอากาศเก่งขนาด $6 \times 6$ ที่ความถี่ 1.8-2.4 GHz ในทิศทางมุม $-50^\circ$ และ $65^\circ$ .....	31
รูปที่ 2.23	แบบรูปการแผ่พลังงานในทิศทางการเข้ามาของสัญญาณที่มุม $65^\circ$ ที่ความถี่ 2.15 GHz.....	33
รูปที่ 2.24	แบบรูปการแผ่พลังงานในทิศทางการเข้ามาของสัญญาณที่มุม $65^\circ$ ที่ความถี่ 1.9-2.4 GHz .....	34
รูปที่ 2.25	แบบรูปการแผ่พลังงานในทิศทางการเข้ามาของสัญญาณที่มุม $65^\circ$ ที่ความถี่ 2.15 GHz ที่ได้จากการปรับแต่งค่าสัมประสิทธิ์การถ่วงน้ำหนักใหม่ .....	36
รูปที่ 2.26	แบบรูปการแผ่พลังงานในทิศทางการเข้ามาของสัญญาณที่มุม $65^\circ$ ที่ความถี่ 1.9-2.4 GHz ที่ได้จากการปรับแต่งค่าสัมประสิทธิ์การถ่วงน้ำหนักใหม่ .....	36
รูปที่ 3.1	แผนภาพขั้นตอนการปรับแต่งค่าสัมประสิทธิ์การถ่วงน้ำหนัก .....	40
รูปที่ 4.1	แบบรูปการแผ่พลังงานที่มุม $-40^\circ$ และ $45^\circ$ โดยวิธี IDFT .....	40
รูปที่ 4.2	แบบรูปการแผ่พลังงานที่มุม $-40^\circ$ และ $45^\circ$ โดยวิธีปรับแต่งค่า สัมประสิทธิ์การถ่วงน้ำหนัก .....	40
รูปที่ 4.3	แบบรูปการแผ่พลังงานที่มุม $-60^\circ$ และ $30^\circ$ โดยวิธี IDFT .....	46
รูปที่ 4.4	แบบรูปการแผ่พลังงานที่มุม $-60^\circ$ และ $30^\circ$ โดยวิธีปรับแต่งค่า สัมประสิทธิ์การถ่วงน้ำหนัก .....	46
รูปที่ 4.5	แบบรูปการแผ่พลังงานที่มุม $-40^\circ$ และ $45^\circ$ โดยวิธี IDFT .....	47
รูปที่ 4.7	แบบรูปการแผ่พลังงานที่มุม $-40^\circ$ และ $45^\circ$ โดยวิธี โดยวิธีปรับแต่งค่า สัมประสิทธิ์การถ่วงน้ำหนัก เมื่อสัมประสิทธิ์การถ่วงน้ำหนักสูงสุดเท่ากับ 20 dB .....	47

## สารบัญรูป

หน้า

รูปที่ 4.8	แบบรูปการแผ่พลังงานที่มุน -60° และ 30° โดยวิธี IDFT .....	49
รูปที่ 4.9	แบบรูปการแผ่พลังงานที่มุน -60° และ 30° โดยวิธีปรับแต่งค่า	
	สัมประสิทธิ์การถ่วงน้ำหนัก .....	49
รูปที่ 4.10	แบบรูปการแผ่พลังงานที่มุน -60° และ 30° โดยวิธี โดยวิธีปรับแต่งค่า	
	สัมประสิทธิ์การถ่วงน้ำหนัก เมื่อสัมประสิทธิ์การถ่วงน้ำหนักสูงสุดเท่ากับ 25 dB .....	50
รูปที่ 4.11	แบบรูปการแผ่พลังงานที่มุน -40° และ 45° โดยวิธี IDFT .....	51
รูปที่ 4.12	แบบรูปการแผ่พลังงานที่มุน -40° และ 45° โดยวิธีปรับแต่งค่า	
	สัมประสิทธิ์การถ่วงน้ำหนัก .....	51
รูปที่ 4.13	แบบรูปการแผ่พลังงานที่มุน -20° และ 50° โดยวิธี IDFT .....	52
รูปที่ 4.14	แบบรูปการแผ่พลังงานที่มุน -20° และ 50° โดยวิธีปรับแต่งค่า	
	สัมประสิทธิ์การถ่วงน้ำหนัก .....	53
รูปที่ 4.10	แบบรูปการแผ่พลังงานที่มุน -20° และ 50° โดยวิธีปรับแต่งค่า	
	สัมประสิทธิ์การถ่วงน้ำหนัก เมื่อสัมประสิทธิ์การถ่วงน้ำหนักสูงสุดเท่ากับ 25 dB .....	53

## บทที่ 1

### บทนำ

#### 1.1 ความสำคัญของปัญหา

ในปัจจุบันการติดต่อสื่อสารแบบไร้สายได้เข้ามามีบทบาทสำคัญในชีวิตประจำวันเพิ่มมากขึ้น ซึ่งจะเห็นได้จากความต้องการในการใช้งานโทรศัพท์เคลื่อนที่ที่มีปริมาณเพิ่มขึ้นอย่างรวดเร็วทั่วโลก โดยจากการสำรวจระบบโทรศัพท์เคลื่อนที่พบว่า ในต้นปี พ.ศ. 2545 มีผู้ใช้บริการรวมทั้งหมดถึง 840 ล้านคนทั่วโลก โดยกลุ่มประเทศญี่ปุ่นมีสัดส่วนผู้ใช้บริการสูงสุดถึง 36% อันดับสองคือ กลุ่มประเทศในเอเชียแปซิฟิกมีมากถึง 33% ในประเทศไทยและแคนาดาวรรณกันมีสัดส่วนสูงถึง 21% ประเทศไทยในอเมริกาเหนือรวมกันทั้งหมดเป็น 8% และที่เหลือเป็นผู้ใช้ในทวีปแอฟริกา และกลุ่มในประเทศตะวันออกกลางซึ่งมีสัดส่วนเป็น 2% สำหรับประเทศไทยที่มีผู้ใช้บริการโทรศัพท์เคลื่อนที่เป็นอันดับต้นๆ ได้แก่ ประเทศไทยและจีน ซึ่งมีจำนวนผู้ใช้มากถึง 123.5 ล้านคน และประเทศไทยและจีน ซึ่งมีจำนวนผู้ใช้มากถึง 130 ล้านคน [1] ซึ่งรูปแบบของการให้บริการแบบไร้สายก็มีความหลากหลายมากขึ้น เช่น กล่าวคือ ไม่จำกัดอยู่เฉพาะการสื่อสารด้วยเสียงเท่านั้น การสื่อสารข้อมูลคอมพิวเตอร์ สัญญาณภาพ หรือแม้กระทั่งวิดีโอทัศน์ก็มีแนวโน้มที่จะถูกใช้งานเพิ่มมากขึ้นในอนาคตอันใกล้

เพื่อรับความต้องการที่เพิ่มมากขึ้นดังที่ได้กล่าวมาในข้างต้น ระบบการสื่อสารไร้สายจึงต้องมีประสิทธิภาพที่สูงขึ้น และมีการจัดสรรทรัพยากร่วมกันอย่างมีประสิทธิภาพให้เพียงพอต่อความต้องการของผู้ใช้งาน ระบบสายอากาศเก่ง (smart antenna systems) เป็นระบบหนึ่งที่สามารถเพิ่มคุณภาพของสัญญาณ ซึ่งส่งผลให้เกิดการเพิ่มประสิทธิภาพให้กับระบบการสื่อสารไร้สาย ยิ่งไปกว่านี้ การใช้ระบบสายอากาศเก่งยังช่วยเพิ่มอัตราการใช้ความถี่ข้ามกับระบบได้อีกด้วย เนื่องจากระบบสายอากาศเก่งสามารถหันพูคลีนหลัก (main beam) ไปยังทิศทางของสัญญาณที่ต้องการ (desired signal) ในขณะเดียวกันก็สามารถหันจุดศูนย์ (nulls) หรือพูข้าง (sidelobes) ไปยังทิศทางของสัญญาณแทรกสอด (interference signal) การกระทำดังกล่าวเรียกว่า การก่อรูปลำคลื่น (beam forming) ซึ่งทำให้สามารถลดผลกระทบจากสัญญาณแทรกสอดที่ใช้ความถี่ร่วมกันได้ [2] สามารถเพิ่มอัตราขยายให้กับระบบ และยังเป็นการประหยัดพลังงานได้อีกด้วย เนื่องมาจากไม่มีพลังงานส่วนที่ไม่ต้องการ การก่อรูปลำคลื่นที่กล่าวมานี้ทำได้ด้วยการปรับแอลกอริทึม หรือเฟสให้กับสัญญาณที่สายอากาศแต่ละตัว หรือที่เรียกว่า การถ่วงน้ำหนัก (weighting) ค่าถ่วงน้ำหนัก (weighting coefficients) สามารถหาได้จากการคำนวณด้วยอัลกอริทึม

ที่มีมากมายในปัจจุบัน ค่าที่ได้นั้นจะเป็นค่าเชิงซ้อน (complex numbers) ซึ่งทำให้เกิดการปรับทั้ง แอนพลิจูด และเฟสของสัญญาณที่สายอากาศแต่ละต้น

เมื่อกล่าวถึงความต้องการของผู้ใช้บริการที่มีสูงมากในอนาคตอันใกล้ การส่งสัญญาณจะต้อง อาศัยແນບความถี่ที่กว้าง (wideband) การที่จะนำเอาระบบสายอากาศเก่งแบบเดิมที่ทำงานได้ดีกับ สัญญาณที่มีແນບความถี่แคบ (narrowband) มาใช้กับสัญญาณที่มีແນບความถี่กว้างนั้น ระบบจะไม่ สามารถลดผลกระทบของสัญญาณแทรกสอดได้ดีเหมือนเดิม กล่าวคือเราจะไม่สามารถกำหนดให้ พุกถี่นหลัก และจุดศูนย์ชี้ไปยังตำแหน่งที่ควรจะเป็นได้ในทุกความถี่ตลอดແນບความถี่ที่กว้างได้ และระดับพูดข้างที่ได้จะสูงกว่าเดิมมาก ทำให้ไม่สามารถลดผลกระทบของสัญญาณแทรกสอดได้ดี เมื่อ [3] ดังนั้นที่ผ่านมา จึงมีนักวิจัยได้เสนอระบบสายอากาศเก่งที่สามารถทำงานได้ดีกับ สัญญาณที่มีແນບความถี่กว้าง ซึ่งสามารถแบ่งตามลักษณะการประมวลผลสัญญาณได้เป็น 3 แบบ คือ การประมวลผลสัญญาณเชิงตำแหน่งและเวลา (space-time signal processing) การประมวลผล สัญญาณเชิงตำแหน่งและความถี่ (space-frequency signal processing) และการประมวลผลสัญญาณ เชิงตำแหน่งเพียงอย่างเดียว (fully spatial signal processing) ซึ่งวิธีการประมวลผลแบบแรกนี้ มี ข้อเสียอยู่ที่ต้องเพิ่มจำนวนของແນບสายประวิง (Tapped Delay Lines: TDLs) มาจำนวนเมื่อແນບ ความถี่กว้างขึ้น เนื่องเดียวกันกับในแบบที่สองคือ ต้องเพิ่มจำนวนฟิลเตอร์ (filter) ตามແນບความถี่ที่ เพิ่มขึ้น ทำให้ระบบสายอากาศเก่งของห้องส่องແเบนแรกมีขนาดใหญ่ ซับซ้อน และส่งผลให้ ตัวเปลี่ยนค่าใช้จ่ายในการผลิต ซึ่งต่างจากวิธีการประมวลผลสัญญาณในแบบสุดท้ายที่ไม่ จำเป็นต้องใช้ห้องແນບสายประวิง และฟิลเตอร์ โดยการประมวลผลแบบนี้จะใช้หลักการของการ แปลงฟูเรียร์ผกผันของสัญญาณเวลาดิสcret (Inverse Discrete Fourier Transform: IDFT) ซึ่ง รายละเอียดในแต่ละวิธีจะถูกกล่าวไว้ในบทต่อไป

จากการศึกษานบทความวิจัยพบว่า ค่าล้มเหลวที่การส่วนน้ำหนัก (weighting coefficients) ที่ได้ จากการประมวลผลสัญญาณเชิงตำแหน่งเพียงอย่างเดียวเป็นค่าจริง (real numbers) ซึ่งสามารถใช้ตัว ลดตอน หรือตัวขยายสัญญาณในการส่วนน้ำหนัก เพื่อทำการก่อรูปคลื่นไปเพียงทิศทางเดียว หรือ มีเพียงหนึ่งลำคลื่นเท่านั้น ดังนั้นผู้วิจัยจึงมีความสนใจที่จะวิเคราะห์การก่อรูปคลื่นของวิธีการ ประมวลสัญญาณเชิงตำแหน่งเพียงอย่างเดียวในหลายทิศทาง หรือหลายลำคลื่นนั้นเอง ทั้งนี้จะทำ ให้สายอากาศที่ได้นั้นสามารถใช้งานพร้อมกันได้ในหลายทิศทางที่เฉพาะเจาะจงได้ ยกตัวอย่าง เช่น ในโรงพยาบาลที่ในบางจุดต้องการการใช้งานคลื่นความถี่การสื่อสาร แต่ในบางจุดไม่ต้องการ เช่น ห้องอีกชั้น หรือห้องตรวจล้วนหัวใจ เป็นต้น สายอากาศแบบนี้จึงเหมาะสมกับที่จะใช้กับ องค์กรประเภทนี้ หรือองค์กรอื่นๆ ที่มีการเลือกใช้งานเฉพาะบางจุดเท่านั้น เนื่องจากระบบ สายอากาศแบบนี้ไม่ต้องใช้สายอากาศหลายชุด เป็นการประหยัดพลังงาน และค่าใช้จ่ายในการ

ติดตั้ง อีกทั้งยังเพิ่มอัตราการส่งข้อมูลได้มากขึ้นด้วย นอกจากนี้จะได้ทำการวิเคราะห์เพื่อหารวิธีการที่เหมาะสมในการปรับแต่งค่าสัมประสิทธิ์การถ่วงน้ำหนัก ซึ่งเป็นตัวที่จะกำหนดคุณสมบัติของตัวลดthon หรือตัวขยายสัญญาณในอยู่ในยานการทำงานที่สามารถทำได้จริง แต่ยังคงรักษาคุณสมบัติของแบบรูปการแพ้พลังงานของระบบ ได้เหมือนเดิมเมื่อใช้งานในแคนความถี่กว้าง

## 1.2 วัตถุประสงค์

- ศึกษาการก่อรูปลำคลื่นโดยวิธีการประมวลผลสัญญาณเชิงตำแหน่งเพียงอย่างเดียวของระบบสายอากาศเก่งที่ใช้งานกับสัญญาณที่มีແணความถี่กว้าง
- ศึกษาการก่อรูปลำคลื่นหลายลำคลื่น โดยวิธีการประมวลผลสัญญาณเชิงตำแหน่งเพียงอย่างเดียวของระบบสายอากาศเก่งที่ใช้งานกับสัญญาณที่มีແணความถี่กว้าง
- ศึกษา วิเคราะห์ และหาวิธีการปรับแต่งค่าสัมประสิทธิ์การถ่วงน้ำหนักที่ได้จากการประมวลผลสัญญาณเชิงตำแหน่งเพียงอย่างเดียวสำหรับการก่อรูปลำคลื่นหลายลำคลื่น ที่ใช้งานกับสัญญาณความถี่แคนกว้าง
- จำลองระบบสายอากาศ และทดสอบวิธีการปรับแต่งค่าสัมประสิทธิ์การถ่วงน้ำหนักที่ได้จากการประมวลผลสัญญาณเชิงตำแหน่งเพียงอย่างเดียวของระบบสายอากาศเก่งที่ใช้งานกับสัญญาณความถี่แคนกว้าง

## 1.3 ขอบเขตของโครงการวิจัย

- งานวิจัยครั้งนี้ทำการวิเคราะห์ และปรับแต่งค่าสัมประสิทธิ์การถ่วงน้ำหนักที่ได้จากการประมวลผลสัญญาณเชิงตำแหน่งเพียงอย่างเดียวของระบบสายอากาศเก่ง
- ใช้โปรแกรมแมทแล็บ (MATLAB) ในการจำลองแบบระบบสายอากาศเก่ง
- จำลองแบบระบบสายอากาศเก่ง โดยประกอบด้วยสายอากาศแควลำดับ และใช้วิธีการประมวลผลสัญญาณเชิงตำแหน่งเพียงอย่างเดียว
- ออกแบบระบบสายอากาศเก่งที่ใช้งานในความถี่  $1.9 \text{ GHz} - 2.5 \text{ GHz}$  วิเคราะห์และปรับแต่งค่าสัมประสิทธิ์การถ่วงน้ำหนักของการก่อรูปลำคลื่นที่มากกว่า 1 ลำคลื่น

## 1.4 กรอบแนวความคิดของโครงการวิจัย

งานวิจัยนี้เป็นงานวิจัยที่ได้นำเอารอบความคิดของวิธีการประมวลผลสัญญาณเชิงตำแหน่งเพียงอย่างเดียวของสายอากาศเก่ง และนำมายังรูปแบบที่เพื่อสร้างลำคลื่นหลายๆ ลำคลื่น

ด้วยวิธีการนี้ แล้วจึงหาวิธีการปรับแต่งค่าสัมประสิทธิ์การถ่วงน้ำหนัก ให้มีช่วงการถ่วงน้ำหนักที่เหมาะสม เพื่อจ่ายต่อการใช้งานได้จริง โดยทำให้ลักษณะที่ได้มีคุณสมบัติเหมือนเดิม

## 1.5 วิธีการดำเนินการวิจัย และสถานที่ทำการทดลอง/เก็บข้อมูล

สถานที่ดำเนินการวิจัย คณะวิศวกรรมศาสตร์ มหาวิทยาลัยเทคโนโลยีราชมงคลครุวิชัย

## 1.6 วิธีการดำเนินการวิจัย

1. สำรวจปริศนาเวรรณกรรม และงานวิจัยที่เกี่ยวข้อง
  2. ศึกษาวิธีการก่อรูปลำคลื่นเชิงดำเนินเพียงอย่างเดียว
  3. ศึกษาเทคนิคการก่อรูปลำคลื่นหลายลำคลื่นด้วยการก่อรูปลำคลื่นเชิงดำเนินเพียงอย่างเดียว
  4. จำลองระบบการก่อรูปลำคลื่นหลายลำคลื่นด้วยโปรแกรม MATLAB
  5. ศึกษาวิธีการปรับแต่งค่าสำประสิทธิ์การถ่วงน้ำหนักของวิธีการก่อรูปลำคลื่นเชิงดำเนินเพียงอย่างเดียว
  6. จำลองระบบการปรับแต่งค่าสำประสิทธิ์การถ่วงน้ำหนักของวิธีการก่อรูปลำคลื่นเชิงดำเนินเพียงอย่างเดียวด้วยโปรแกรม MATLAB
  7. วิเคราะห์ผลการจำลองสำหรับวิธีการปรับแต่งค่าสำประสิทธิ์การถ่วงน้ำหนัก กับวิธีที่ไม่ได้ปรับแต่งค่าสำประสิทธิ์การถ่วงน้ำหนัก
  8. สรุปผลการทดลอง

## 1.7 ระยะเวลาทำการวิจัย และแผนการดำเนินงานตลอดโครงการวิจัย

คลิ่นหลายคำลี่นด้วยโปรแกรม MATLAB											
5. ศึกษาวิธีการปรับแต่งค่าสำหรับวิธีการถ่วงน้ำหนักของวิธีการก่อรูปคำลี่นเชิงตำแหน่งเพียงอย่างเดียว											
6. จำลองระบบการปรับแต่งค่าสำหรับวิธีการถ่วงน้ำหนักของวิธีการก่อรูปคำลี่นเชิงตำแหน่งเพียงอย่างเดียวด้วยภาษาโปรแกรม MATLAB											
7. วิเคราะห์ผลการจำลองสำหรับวิธีการปรับแต่งค่าสัมประสิทธิ์การถ่วงน้ำหนัก กับวิธีที่ไม่ได้ปรับแต่งค่าสัมประสิทธิ์การถ่วงน้ำหนัก											
8. สรุปผลการทดลอง											
9. เพียนบทความตีพิมพ์											
10. เพียนรูปเล่มรายงานผลงานวิจัย											

## 1.8 ประโยชน์ที่ได้รับของโครงการนวัตกรรม

1. ได้วิธีการปรับแต่งสายอากาศสำหรับการก่อรูปคำลี่นหลายคำลี่น
2. เผยแพร่องค์ความรู้งานวิจัย โดยตีพิมพ์ในระดับนานาชาติ
3. ได้สายอากาศที่สามารถเพิ่มประสิทธิภาพให้เครื่องข่ายได้
4. ได้ระบบสายอากาศเก่งที่ไม่มีความซับซ้อน และสามารถใช้งานได้ในแบบความต้องการ

## บทที่ 2

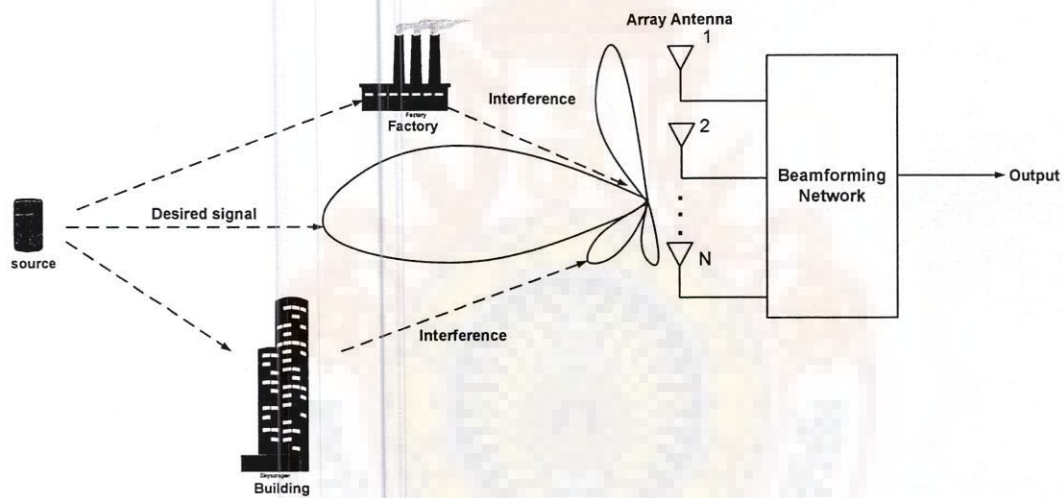
### งานวิจัยที่เกี่ยวข้อง

#### 2.1 กล่าวนำ

ระบบสายอากาศเก่ง คือ ระบบที่ประกอบด้วย 2 ส่วนหลักๆ ได้แก่ สายอากาศและลำดับที่จัดเรียงกันในรูปแบบต่างๆ ทำงานร่วมกับอีกส่วนหนึ่งคือ ส่วนของการประมวลผลสัญญาณ ซึ่งส่วนนี้เองเป็นส่วนที่ทำให้ระบบสายอากาศมีความเก่งขึ้นมา ระบบสายอากาศเก่งจะสามารถลดผลกระทบจากสัญญาณแทรกสอดแทรกสอดได้ด้วยการก่อรูปคลื่น โดยมีพุคลื่นหลักชี้ไปยังทิศทางของสัญญาณแทรกสอด ดังที่แสดงไว้ในรูปที่ 2.1 กลไกที่ทำให้ระบบสายอากาศสามารถก่อรูปคลื่นได้ หรือพุดอีกนัยหนึ่งคือ ระบบสายอากาศมีความเก่งขึ้นมาก ได้แก่ การถ่วงน้ำหนักของสัญญาณที่สายอากาศแต่ละต้น การถ่วงน้ำหนักดังกล่าวคือการปรับแอนเพลจูด และเฟสให้กับสัญญาณด้วยค่าสัมประสิทธิ์การถ่วงน้ำหนัก ค่าสัมประสิทธิ์การถ่วงน้ำหนักสามารถคำนวณได้จากอัลกอริทึมที่หลากหลายในปัจจุบัน

ระบบสายอากาศเก่งเริ่มมีการนำเสนอในช่วงปี พ.ศ. 2493 โดยไฮเวลล์ (Howells) และแอปเบิลbaum (Applebaum) ณ บริษัทเจนเนอรัลลีอิเล็กทริก ในปี พ.ศ. 2509 ได้ตีพิมพ์เป็นรายงานจนกระทั่งนำเสนอเป็นบทความทางวิชาการในปี พ.ศ. 2519 นอกจากนี้ยังมีนักวิชาการอีกหลายกลุ่มนำเสนอหลักการของระบบสายอากาศเก่งด้วยเช่นกัน เช่น ชอร์ (Shor) ในปี พ.ศ. 2509 และวิดรอว์ (Widrow) ซึ่งได้ใช้วิธีการคำนวณหาสัมประสิทธิ์การถ่วงน้ำหนักซึ่งเรียกว่า อัลกอริทึมค่าเฉลี่ยกำลังสองน้อยที่สุด (Least Mean Square: LMS) ในปี พ.ศ. 2510 ระบบสายอากาศเก่งได้ถูกนำมาประยุกต์ใช้ในเทคโนโลยีด้านเรื่องเวลาและอวภาก ในช่วงปี พ.ศ. 2543 เป็นต้นมา ต่อมาได้ถูกนำมาใช้ในเชิงพาณิชย์มากขึ้นอันเป็นผลเนื่องมาจากการประมวลผลสัญญาณที่ดีขึ้น ประกอบกับศักยภาพในการออกแบบและสร้างมีราคาต่ำลง ระบบสายอากาศเก่งถูกนำมาประยุกต์ใช้งานเพื่อแก้ปัญหาข้อจำกัดของช่องสัญญาณซึ่งมีอยู่อย่างจำกัด ในขณะที่จำนวนผู้ใช้โทรศัพท์เคลื่อนที่ หรือการสื่อสารไร้สายมีจำนวนเพิ่มมากขึ้น ระบบสายอากาศเก่งช่วยปรับปรุงความสามารถของระบบได้โดยการเพิ่มความจุของช่องสัญญาณ การขยายขอบเขตของการครอบคลุมของสัญญาณ และการปรับคลื่นตามทิศทางของสัญญาณเป้าหมาย หรือสัญญาณที่ต้องการ นอกจากรายการนี้ยังช่วยลดปัญหาที่เกิดจากการที่สัญญาณเข้ามายังทิศทางที่ไม่ต้องการได้

ระบบสายอากาศเก่งมีทั้งระบบไม่ต้องอาศัยข้อมูลของทิศทางการมาถึงของสัญญาณ (Direction Of Arrival: DOA) และระบบที่ต้องใช้ทิศทางการมาถึงของสัญญาณ ในวิทยานิพนธ์ฉบับนี้จะสนใจระบบที่ต้องอาศัยข้อมูลของทิศทางการมาถึงของสัญญาณ ซึ่งระบบดังกล่าวสามารถแบ่งออกได้เป็น 2 ส่วนที่สำคัญ คือ ส่วนของการคำนวณหาทิศทางการมาถึงของสัญญาณ และส่วนของการก่อรูปลำคลื่น ซึ่งวิธีการประมวลผลสัญญาณเพื่อหาทิศทางการมาถึงของสัญญาตนั้นมีหลายวิธี เช่น วิธี Multiple Signal Classification (MUSIC) หรือวิธี Estimation of Signal Parameters via Rotational Invariant Technique (ESPRIT) เป็นต้น หลังจากหาทิศทางการมาถึงของสัญญาณได้แล้ว ขั้นตอนต่อไปก็คือการก่อรูปลำคลื่น ซึ่งเป็นวิธีที่จะต้องสร้างแบบรูปการແเพลิงงานให้มีลำคลื่นหลักชี้ไปยังทิศทางที่คำนวณได้ในขั้นต้น และสามารถหันจุดศูนย์หรือพุข้างไปยังทิศทางของสัญญาณแทรกสอด



รูปที่ 2.1 โครงสร้างของระบบสายอากาศเก่ง

## 2.2 ระบบสายอากาศเก่งโดยทั่วไป

ระบบสายอากาศเก่งโดยทั่วไปสามารถแบ่งออกได้เป็น 2 แบบคือ ระบบสายอากาศแบบสวิตช์ลำคลื่น และระบบสายอากาศแบบปรับตัว โดยมีรายละเอียดดังนี้

### 2.2.1 ระบบสายอากาศแบบสวิตช์ลำคลื่น

ระบบสายอากาศแบบสวิตช์ลำคลื่น (switched beam antennas) ประกอบด้วยสายอากาศแฉลาม วงจรข่ายก่อรูปลำคลื่น (beamforming network) และตัวเลือกลำคลื่น (beam selector) ดังที่แสดงในรูปที่ 2.2 เมื่อพิจารณาให้ระบบสายอากาศทำหน้าที่เป็นภาครับ สัญญาณที่ตก

กระบวนการส่ายอากาศแต่ละต้นจะถูงส่งไปยังวงจรข่ายก่อรูปลำคลื่น เพื่อก่อรูปลำคลื่นในหลายๆ ทิศทางตามที่ได้ออกแบบไว้ ซึ่งสัญญาณข้าอกในแต่ละพอร์ตของวงจรข่ายก่อรูปลำคลื่นจะแสดงถึงสัญญาณที่ได้จากการก่อรูปลำคลื่นในแต่ละทิศทาง ตัวเลือกลำคลื่นทำหน้าที่ในการเลือกสัญญาณในแต่ละทิศทางที่ผ่านมาจากวงจรข่ายก่อรูปลำคลื่น และลำคลื่นที่ให้ความแรงของสัญญาณสูงสุดจะถูกเลือกออกมานั้นเป็นสัญญาณข้าอกของระบบ

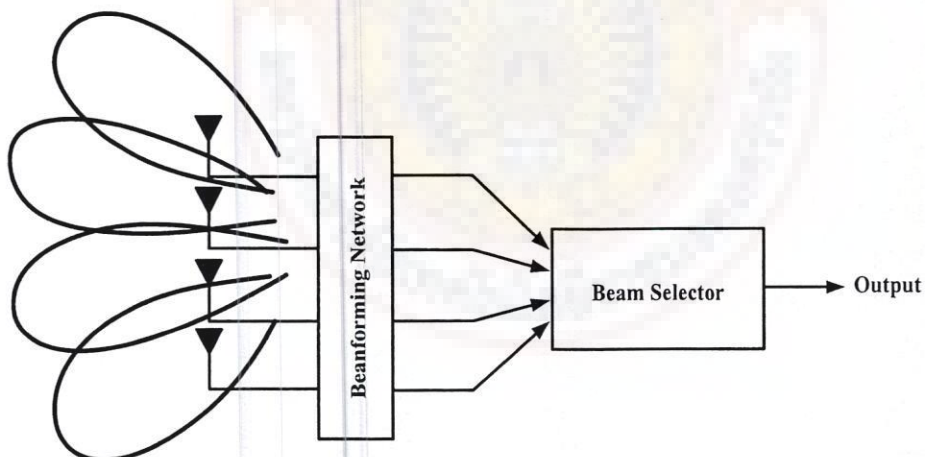
ค่าสัมประสิทธิ์การถ่วงน้ำหนักสำหรับสัญญาณข้าอกที่มีลำคลื่นชี้ไปยังทิศทางที่  $m^{th}$  สามารถแสดงได้ดังสมการที่ 2.1

$$\bar{T}_m = [w_{0,m} \quad w_{1,m} \quad \dots \quad w_{N-1,m}] \quad (2.1)$$

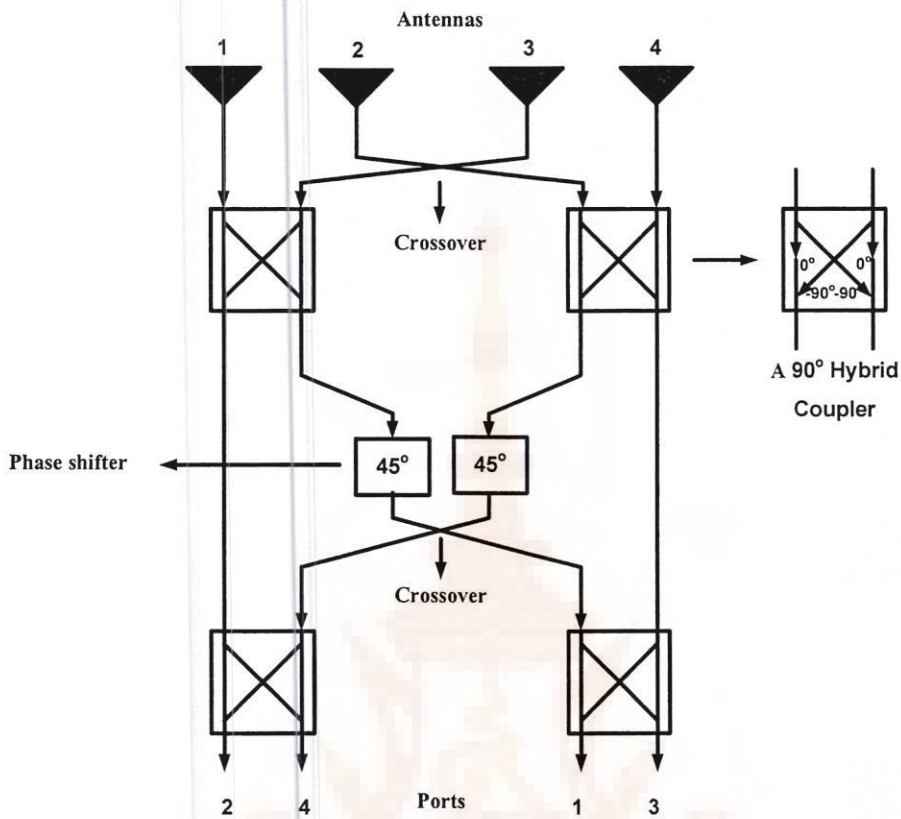
เมื่อ  $w_{n,m}$  คือสัมประสิทธิ์การถ่วงน้ำหนักของสายอากาศต้นที่  $n^{th}$  สำหรับการก่อรูปลำคลื่นในทิศทาง  $m^{th}$  ซึ่งสัญญาณข้าอกของระบบสามารถเขียนได้ดังนี้

$$y = \bar{T}^{-1} \bar{x} \quad (2.2)$$

เมื่อ  $\bar{x}$  คือ สัญญาณที่รับเข้ามาจากสายอากาศ



รูปที่ 2.2 โครงสร้างพื้นฐานของระบบสายอากาศแบบสวิตช์ลำคลื่น

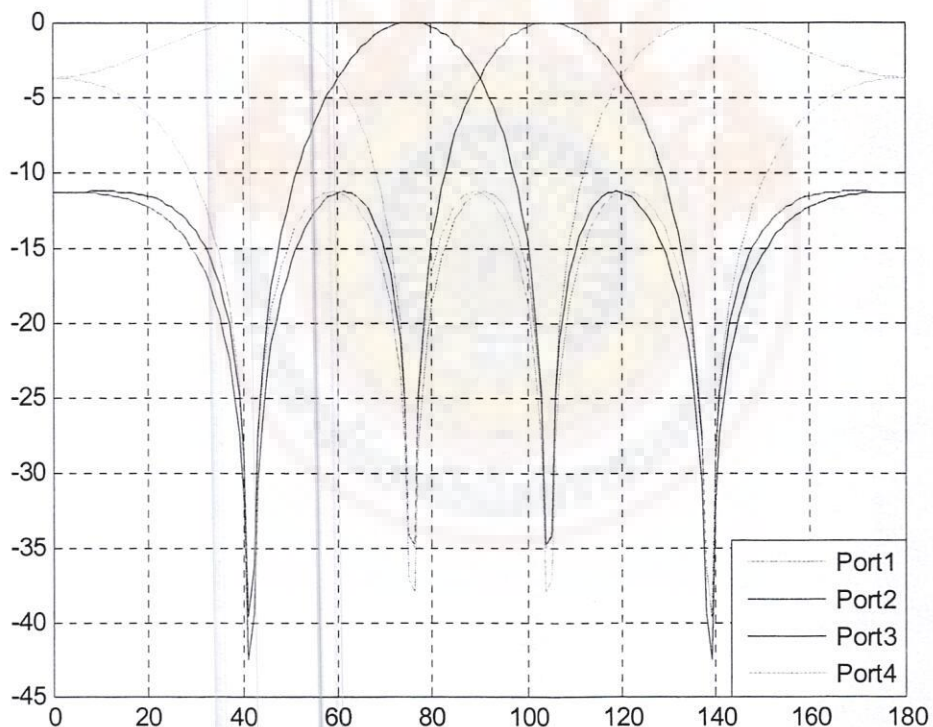


รูปที่ 2.3 โครงสร้างของวงจรข่ายการก่อรูปลำคลื่นแบบ Butler Matrix

ในส่วนของวงจรข่ายการก่อรูปลำคลื่นสำหรับสายอากาศเก่งแบบสวิตซ์ลำคลื่น เทคนิคที่นิยมนำมาใช้กันมากได้แก่ วงจรข่ายการก่อรูปลำคลื่นแบบ Butler matrix ซึ่งจะประกอบด้วยสายอากาศแบบแควล์ดับบล์เชิงเส้นจำนวน 4 ต้น แต่ละต้นวางห่างกันครึ่งความยาวคลื่นของความถี่ที่ใช้งาน เมื่อสัญญาณตกกระทบที่สายอากาศ สัญญาณจะถูกส่งผ่านไปยังตัวเชื่อมต่อแบบไฮบริด 90° (90° hybrid couplers) ตัวไขว้สัญญาณ (crossovers) และวงจรเลื่อนเฟส (phase-shift circuits) ดังที่แสดงในรูปที่ 2.3 ส่งผลให้สามารถสร้างลำคลื่นที่มีพุคลื่นหลักชี้ไปที่  $139^\circ$ ,  $104^\circ$ ,  $76^\circ$  และ  $41^\circ$  ตารางที่ 2.1 แสดงให้เห็นถึงความต่างเฟสระหว่างสายอากาศทั้ง 4 ต้น และทิศทางของลำคลื่นที่ได้จากสัญญาณขาออกทั้ง 4 พอร์ต รูปที่ 2.4 แสดงให้เห็นถึงแบบรูปการแผ่พลังงานของทั้ง 4 ลำคลื่น ซึ่งสัมพันธ์กับค่าที่แสดงในตารางที่ 2.1

ตารางที่ 2.1 ทิศทางของพูคลีนหลัก ความต่างเฟส และเฟสของสัญญาณขาออกสำหรับวงจรข่ายแบบ Butler matrix

	สายอากาศ ต้นที่ 1	สายอากาศ ต้นที่ 2	สายอากาศ ต้นที่ 3	สายอากาศ ต้นที่ 4	ทิศทาง ของพูคลีน หลัก	เฟสระหว่าง องค์ประกอบ สายอากาศ
พอร์ต 1	-45°	-180°	45°	-90°	139°	-135°
พอร์ต 2	-135°	-45°	-90°	-135°	104°	-45°
พอร์ต 3	-135°	-90°	-45°	0°	76°	45°
พอร์ต 4	-90°	45°	-180°	-45°	41°	135°



รูปที่ 2.4 แบบรูปการแผ่พลังงานของทั้ง 4 ลำคันซึ่งสัมพันธ์กับค่าในตารางที่ 2.1  
เราสามารถสรุปข้อดี และข้อเสียของระบบสายอากาศแบบสวิตช์ลำคันได้ดังนี้

### ข้อดี

1. ระบบมีความซับซ้อนน้อย
2. สามารถติดตามสัญญาณได้รวดเร็วตามอัตราการปรับเปลี่ยนลำคลื่น
3. ในกรณีที่ระบบใช้จำนวนสายอากาศไม่มากนัก ประสิทธิภาพของสายอากาศแบบสวิตช์ลำคลื่นจะใกล้เคียงกับสายอากาศแบบปรับตัว

### ข้อเสีย

1. อัตราขยายของระบบต่ำในทิศทางที่อยู่ระหว่างลำคลื่น
2. การลดผลกระทบจากสัญญาณแทรกสอดมีข้อจำกัด
3. ในกรณีที่สัญญาณไม่ชัดเจน มีการบดบังสัญญาณ มีการแทรกสอดของสัญญาณหรือมีสัญญาณมาถึงในมุมกว้างหลายมุม อาจมีความผิดพลาดในการเลือกสัญญาณได้

#### 2.2.2 ระบบสายอากาศแบบปรับตัว

ระบบสายอากาศแบบปรับตัว (adaptive antennas) เป็นระบบสายอากาศชนิดที่สามารถปรับเปลี่ยนลำคลื่นให้เข้าไปในทิศทางใดๆ ได้โดยอิริยะ ซึ่งค่าสัมประสิทธิ์การถ่วงน้ำหนักจะคำนวณได้จากอัลกอริทึมแบบปรับตัว (adaptive algorithm) โดยหลักการทำงานของระบบนี้คือ เมื่อสัญญาณผลกระทบสายอากาศแต่ละต้น สัญญาณจะถูกส่งมาที่อัลกอริทึมแบบปรับตัว เพื่อคำนวณหาค่าสัมประสิทธิ์การถ่วงน้ำหนักแล้วส่งค่ากลับไปยังตัวถ่วงน้ำหนักเพื่อปรับแอนพลิจูดและเฟสของสัญญาณที่ผลกระทบสายอากาศ ซึ่งจะได้สัญญาณข้ออกดังสมการที่ 2.3

$$y = \bar{W}\bar{x} \quad (2.3)$$

เมื่อ  $\bar{x}$  คือ สัญญาณที่มาตกผลกระทบสายอากาศแต่ละต้น และ  $\bar{W}$  คือค่าสัมประสิทธิ์การถ่วงน้ำหนัก ระบบจะทำงานลักษณะวงจรปิดแบบนี้ไปเรื่อยๆ จนกว่าจะลดผลกระทบจากสัญญาณแทรกสอดลงได้ วิธีการคำนวณหาค่าสัมประสิทธิ์ดังกล่าวมีหลายวิธี ขึ้นกับอัลกอริทึมที่เลือกใช้ เช่น อัลกอริทึมค่าเฉลี่ยกำลังสองน้อยที่สุด หรืออัลกอริทึมค่าเฉลี่ยกำลังสองเวียนเกิด (Recursive Least Square: RLS) เป็นต้น จากกระบวนการดังกล่าวจะส่งผลให้ระบบสามารถหันพุกคลื่นหลักไปยังทิศทางที่ต้องการ และหันจุดศูนย์ไปยังทิศทางของสัญญาณแทรกสอดได้ ดังแสดงในรูปที่ 2.5

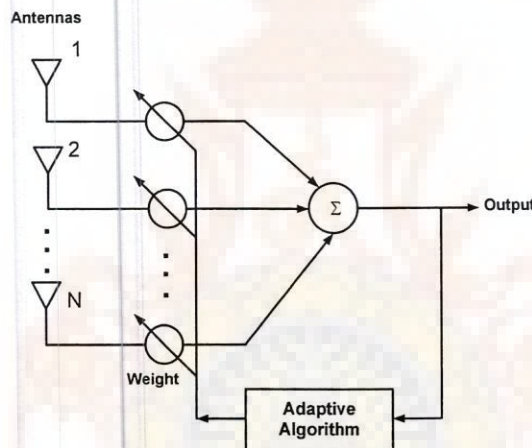
เราสามารถสรุปข้อดีและข้อเสียของสายอากาศแบบปรับตัวได้ดังนี้

### ข้อดี

- ลดผลกระทบจากสัญญาณแทรกสอดจากการใช้ความถี่ร่วมกัน
- มีอัตราส่วนสัญญาณที่ต้องการต่อสัญญาณแทรกสอดสูง
- เพิ่มอัตราขยายให้กับระบบ และประยุคพลังงาน เนื่องจากไม่มีพลังงานส่งไปในทิศทางที่ไม่ต้องการ

### ข้อเสีย

- มีความซับซ้อนของระบบสูงมากกว่าแบบสวิตช์ลำคลื่น
- ต้องการสัญญาณอ้างอิงที่ดีเพื่อให้ได้ประสิทธิภาพสูงสุด
- ต้องการหน่วยประมวลผลความเร็วสูง



รูปที่ 2.5 โครงสร้างของสายอากาศแบบปรับตัว

### 2.3 ผลกระทบของแคนความถี่กับระบบสายอากาศเก่ง

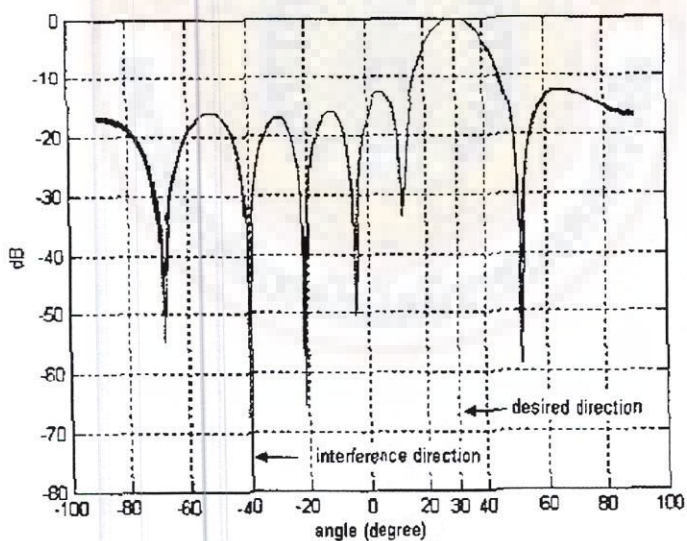
ระบบสายอากาศเก่งที่ใช้ในปัจจุบันส่วนใหญ่จะใช้งานกับสัญญาณที่มีแคนความถี่แคบ โดยการนิยามแคนความถี่ หรือเบนดิวิดท์ (bandwidth) จะนิยามจาก อัตราส่วนของแคนความถี่ที่ใช้งาน กับความถี่กลาง หรือที่เรียกว่า เศษส่วนแบบดิวิดท์ (Fractional Bandwidth: FB) ดังสมการที่ 2.1

$$FB = \frac{f_h - f_l}{(f_h + f_l)/2} \times 100\% \quad (2.1)$$

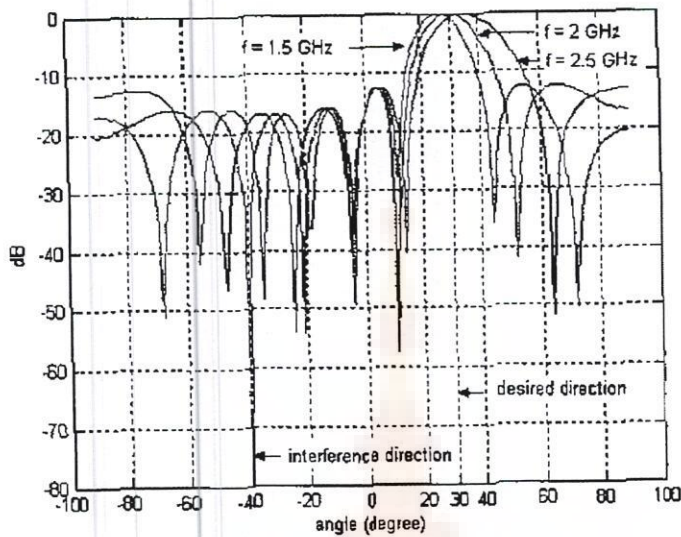
เมื่อ  $f_h$  และ  $f_l$  แทนความถี่สูงสุด และความถี่ต่ำสุดของความถี่ที่ใช้งาน สำหรับสัญญาณที่ มีแคนความถี่แคบจะมีค่า  $FB$  เพียงเล็กน้อย คือน้อยกว่า 1% ส่วนสัญญาณจะถูกเรียกว่ามีแคนความถี่กว้างก็ต่อเมื่อค่านسبة  $FB$  แล้วมีค่าระหว่าง 1% ถึง 50 %

วิธีการก่อรูปลำคลื่นสำหรับระบบสายอากาศเก่งที่ทำงานได้ดีกับสัญญาณที่มีแอนความถี่แคบมีหลายวิธี ด้วยกัน ซึ่งในปริทัศน์วรรณกรรม แสดงให้เห็นว่า ระบบดังกล่าวไม่สามารถใช้งานกับสัญญาณที่มีแอนความถี่กว้าง ได้ การจำลองแบบในคอมพิวเตอร์จากปริทัศน์วรรณกรรมดังกล่าว ได้กำหนดให้มีสายอากาศได้โพลเดียวลำดับวงเรียงกัน 7 ตัวแบบเชิงเส้น โดยสายอากาศแต่ละตัววางห่างกันเป็นระยะครึ่งความยาวคลื่น ซึ่งใช้อัลกอริทึมค่าเฉลี่ยกำลังสองน้อยที่สุดในการคำนวณหาค่าสัมประสิทธิ์การถ่วงน้ำหนัก กำหนดทิศทางการมาถึงของสัญญาณที่ต้องการเท่ากับ  $30^\circ$  และสัญญาณแทรกสอดเท่ากับ  $40^\circ$  ผลการจำลองแบบแสดงในรูปที่ 2.6 และ 2.7 เมื่อกำหนดให้ใช้งานกับสัญญาณที่มีแอนความถี่เท่ากับ 10 MHz (แอนแคบ) และ 500 MHz (แอนกว้าง) ตามลำดับ โดยที่มีความถี่คลื่นเท่ากับ 2 GHz

รูปที่ 2.6 แสดงให้เห็นว่าเมื่อใช้งานกับสัญญาณที่มีแอนความถี่แคบ พุคลื่นหลักและจุดศูนย์บังสามารถชี้ทิศไปยังทิศทางที่ต้องการและทิศของสัญญาณแทรกสอดได้เป็นอย่างดี ตามลำดับ ซึ่งตรงกันข้ามกับผลที่แสดงในรูปที่ 2.7 โดยจะเห็นได้ว่าเมื่อใช้งานกับสัญญาณที่มีแอนความถี่กว้างพุคลื่นหลัก และจุดศูนย์เกิดการเบี่ยงเบนทำให้เกิดความคลาดเคลื่อนในการชี้ทิศทาง ส่งผลให้ค่าอัตราส่วนสัญญาณต่อสัญญาณแทรกสอดของระบบมีค่าลดลง ดังนั้นจึงมีการวิจัยและพัฒนาเพื่อทำให้ระบบสายอากาศเก่งสามารถทำงานได้ดีกับสัญญาณที่มีแอนความถี่กว้าง ดังจะแสดงรายละเอียดในหัวข้อต่อไป



รูปที่ 2.6 แบบรูปการเผยแพร้งานของระบบสายอากาศเก่งที่ใช้งานความถี่แคบที่ 10 MHz



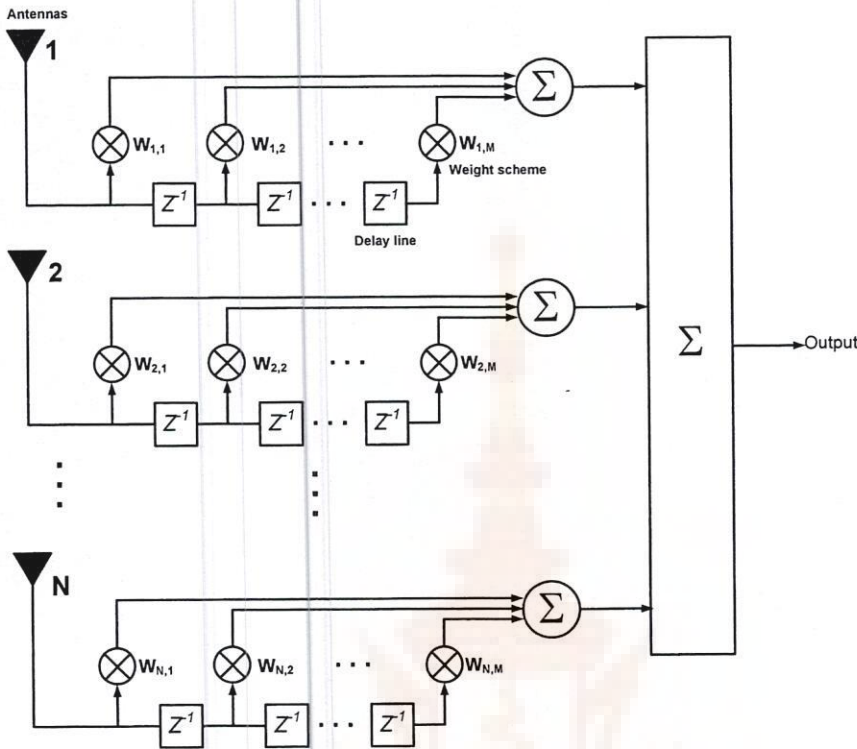
รูปที่ 2.7 แบบรูปการแผ่พลังงานของระบบสายอากาศเก่งที่ใช้งานความถี่แคบกว้างที่ 500 MHz

## 2.4 ระบบสายอากาศเก่งที่ใช้งานกับสัญญาณที่มีแคบความถี่กว้าง

สายอากาศเก่งที่ใช้ในแคบความถี่กว้างมีระเบียบวิธีการก่อรูปลำดับลิ่น 3 แบบ คือ วิธีการประมวลผลสัญญาณเชิงตำแหน่งและเวลา วิธีการประมวลผลสัญญาณเชิงตำแหน่งและความถี่ และวิธีการประมวลผลสัญญาณเชิงตำแหน่งเพียงอย่างเดียว โดยแต่ละแบบมีรายละเอียดโดยสังเขปดังนี้

### 2.4.1 วิธีการประมวลผลสัญญาณเชิงตำแหน่งและเวลา

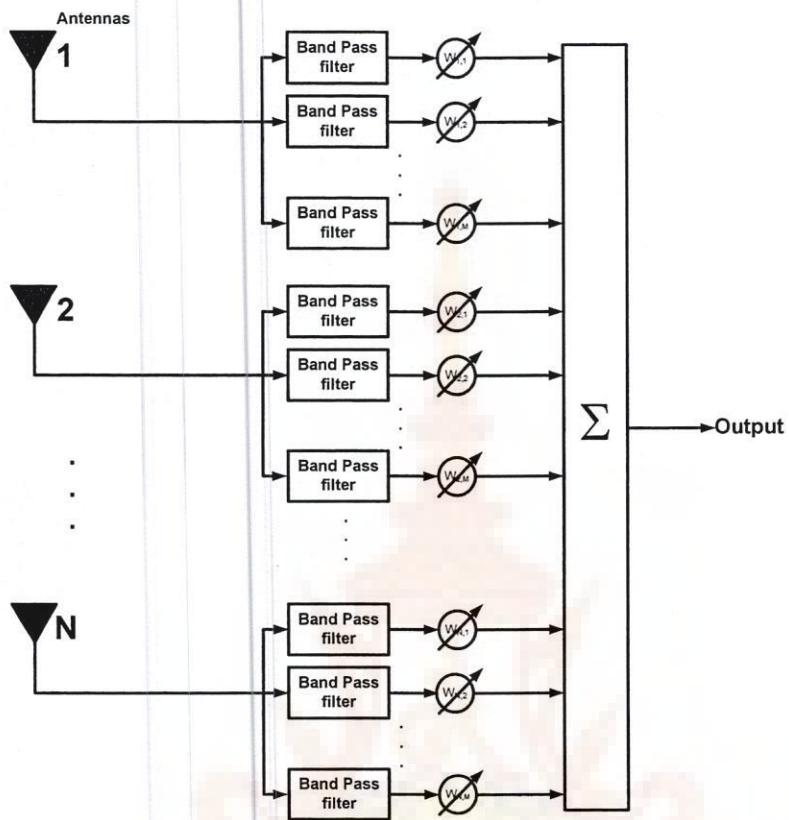
วิธีการประมวลผลสัญญาณเชิงตำแหน่งและเวลา คือ การนำเอาข้อมูลในเชิงตำแหน่งและเวลามาประมวลผลร่วมกันซึ่งมีโครงสร้างดังแสดงในรูปที่ 2.8 ซึ่งจากรูปจะเห็นว่า ส่วนของการประมวลผลเชิงตำแหน่ง ขึ้นอยู่กับชนิดของสายอากาศ และการวางแผนของสายอากาศแล้วลำดับ และส่วนของการประมวลผลในเชิงเวลาในรูป ก็คือ ส่วนของสายประวิงซึ่งต่ออยู่กับสายอากาศแต่ละต้น โดยจะทำหน้าที่ในการประวิงเวลาสัญญาณ และหลังจากนั้นสัญญาณจะถูกถ่ายผ่านน้ำหนักด้วยตัวถ่ายน้ำหนัก ซึ่งสัญญาณที่มีความถี่ต่ำกว่าก็จะมีการประวิงเวลาที่น้อยกว่าสัญญาณที่มีความถี่สูงกว่า เมื่อสัญญาณเคลื่อนที่ด้วยระยะทางเดียวกัน ทำให้การประวิงเวลาของสายประวิงนั้นขึ้นอยู่กับความกว้างของแคบความถี่สัญญาณ เมื่อสัญญาณมีแคบความถี่เพิ่มขึ้น จำนวนครั้งของการประวิงเวลา ก็จะเพิ่มขึ้นตามไปด้วย ทำให้ระบบมีความซับซ้อนมากยิ่งขึ้น จากรูปเมื่อสัญญาณผ่านสายประวิงแล้ว สัญญาณทั้งหมดก็จะถูกรวมกันกลายเป็นสัญญาณขาออก



**รูปที่ 2.8** โครงสร้างของระบบสายอากาศเก่งที่ใช้งานในแบบความถี่กว้าง โดยใช้วิธีการประมวลผลสัญญาณเชิงตำแหน่งและเวลา

#### 2.4.2 วิธีการประมวลผลสัญญาณเชิงตำแหน่งและความถี่

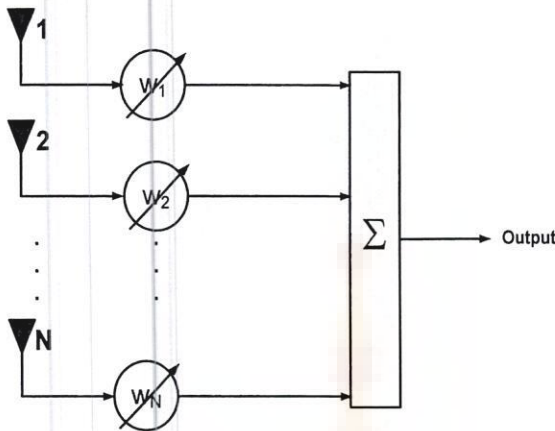
การประมวลผลสัญญาณสำหรับระบบสายอากาศเก่งที่ใช้งานกับสัญญาณที่มีแบบความถี่กว้างโดยไม่จำเป็นต้องใช้แบบสายประวิงอีกต่อไป คือ วิธีการประมวลผลสัญญาณเชิงตำแหน่งและความถี่ ดังแสดงในรูปที่ 2.9 สัญญาณที่ตกรอบทบทบที่สายอากาศแล้วลำดับแต่ละต้นจะถูกกรองออกเป็นสัญญาณความถี่แคบคู่ของวงจรกรองผ่านความถี่ (band-pass filter) ซึ่งสัญญาณที่ได้จากการกรองผ่านความถี่นั้นต้องไม่มีการความเกี่ยวกันของสัญญาณขาออกที่ได้หลังจากนั้น สัญญาณที่ได้จะถูกถอดน้ำหนักคู่ๆ ตัวถ่วงน้ำหนัก ก่อนที่สัญญาณทั้งหมดจะถูกรวบกันเป็นสัญญาณขาออกของระบบสายอากาศเก่งประเภทนี้ ซึ่งจะเห็นได้ว่าจากการดังกล่าว หากต้องการใช้วิธีการประมวลผลสัญญาณวิธีนี้กับสัญญาณความถี่ที่มีแบบความถี่ขึ้น จำเป็นต้องเพิ่มจำนวนของวงจรกรองผ่านความถี่ตามไปด้วยเช่นกัน ทำให้วงจรข่ายของระบบสายอากาศเก่งที่ประมวลผลสัญญาณคู่วิธีนี้มีขนาดใหญ่ และการสร้างวงจรกรองผ่านความถี่ให้มีคุณสมบัติตามที่ต้องการ เพื่อลดการความเกี่ยวกันของสัญญาณนั้นทำได้ยาก และสิ่งเปลี่ยนค่าใช้จ่ายมากขึ้นด้วย ทำให้ไม่เหมาะสมที่จะนำไปใช้กับสัญญาณที่มีแบบความถี่กว้างมากๆ



รูปที่ 2.9 โครงสร้างของระบบสายอากาศเก่งที่ใช้งานในแทนความถี่กว้าง โดยใช้วิธีการประมวลผลสัญญาณเชิงตำแหน่งและความถี่

#### 2.4.3 วิธีการประมวลผลสัญญาณเชิงตำแหน่งเพียงอย่างเดียว

ในช่วงระยะไม่กี่ปีที่ผ่านมา ได้มีการคิดค้นวิธีการใหม่แทนที่สองวิธีการแรก โดยที่วิธีการใหม่นี้ไม่จำเป็นต้องใช้แ-bin สายประวิง หรือวงจรกรองผ่านความถี่ เพื่อลดความซับซ้อนของระบบสายอากาศเก่ง วิธีการดังกล่าวนี้เรียกว่า วิธีการประมวลผลสัญญาณเชิงตำแหน่งเพียงอย่างเดียว โดยวิธีนี้จะอาศัยหลักการของผลการแปลงฟูเรียร์ผกผันของสัญญาณเวลาดิจิตริต มาประยุกต์ ในการหาค่าสัมประสิทธิ์การถ่วงน้ำหนัก โครงสร้างการทำงานของการประมวลผลสัญญาณแสดงได้ดังรูปที่ 2.10 เมื่อสัญญาณตอกกระแทบที่สายอากาศถูกคำนับ สัญญาณที่ได้รับจากสายอากาศแต่ละต้นจะถูกถ่วงน้ำหนักด้วยตัวถ่วงน้ำหนัก และถูกรวมกันออกเป็นสัญญาณขาออก ซึ่งจะเห็นได้ว่า ระบบไม่มีความซับซ้อน ซึ่งจะกล่าวถึงรายละเอียดในการหาค่าสัมประสิทธิ์การถ่วงน้ำหนักในบทถัดไป



รูปที่ 2.10 โครงสร้างของระบบสายอากาศเก่งที่ใช้งานในแบบความถี่กว้าง โดยใช้วิธีการประมวลผลสัญญาณเชิงตำแหน่งเพียงอย่างเดียว

## 2.5 ระบบสายอากาศเก่งที่ทำงานในแบบกว้างกับการประมวลผลสัญญาณเชิงตำแหน่งเพียงอย่างเดียว

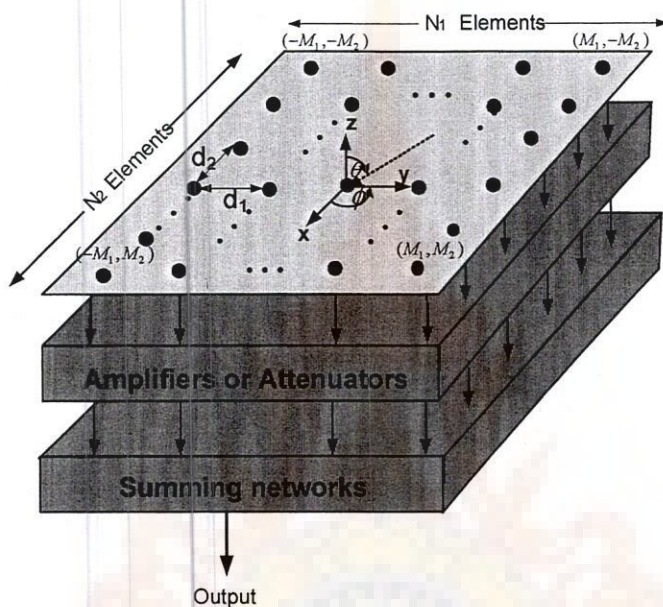
ในส่วนนี้จะกล่าวถึงหลักการประมวลผลสัญญาณของระบบสายอากาศเก่งที่ทำงานในแบบกว้าง ซึ่งการประมวลผลสัญญาณดังกล่าวจะใช้ข้อมูลทางตำแหน่งเพียงอย่างเดียว ซึ่งประกอบด้วย หัวข้อแรกจะเป็นวิธีการก่อรูปลำคลื่นที่ใช้งานกับสัญญาณที่มีแบบความถี่กว้าง โดยวิธีการประมวลผลเชิงตำแหน่งเพียงอย่างเดียวใน 2 มิติ เพื่อหาค่าสัมประสิทธิ์การถ่วงน้ำหนัก ถัดมาจะกล่าวถึงวิธีการลดพูดข้าง โดยใช้ฟังก์ชันเชบีเชฟ (Chebyshev function) ในหัวข้อที่สามจะกล่าวถึงการก่อรูปลำคลื่นหลายลำคลื่นด้วยการประมวลผลเชิงตำแหน่งเพียงอย่างเดียว และหลังจากนั้นจะเป็นการกล่าวสรุปของบทนี้

### 2.5.1 วิธีการก่อรูปลำคลื่นโดยวิธีการประมวลผลเชิงตำแหน่งเพียงอย่างเดียว

สำหรับวิธีการก่อรูปลำคลื่น โดยวิธีการประมวลผลเชิงตำแหน่งเพียงอย่างเดียวเพื่อใช้งานในแบบความถี่กว้างจะต้องใช้สายอากาศแควลำดับเชิงระนาบ (planar array) และในการหาค่าสัมประสิทธิ์การถ่วงน้ำหนักต้องอาศัยการแปลงฟูเรียร์ผกผันของสัญญาณเวลาดิจิตรีต ซึ่งมีรายละเอียดดังนี้

จากรูปที่ 2.11 จะเห็นว่าสายอากาศที่ใช้เป็นสายอากาศแควลำดับเชิงระนาบแบบ 2 มิติ และองค์ประกอบของสายสายอากาศแต่ละตัวจะวางตัวแบบสี่เหลี่ยมนูนฉาก โดยสายอากาศแต่ละตัวจะถูกถ่วงด้วยตัวถ่วงน้ำหนักเพื่อทำการปรับสัญญาณให้ได้ทิศทางตามที่ต้องการ สัญญาณที่ถูกถ่วงน้ำหนักแล้วจะรวมกันออกมารูปสัญญาณข้าอก เมื่อพิจารณาสายอากาศแควลำดับซึ่งมี

จำนวน  $N_1 \times N_2$  วางห่างกันเป็นระยะ  $d_1$  และ  $d_2$  ในทิศทางที่ตั้งฉากกัน โดยมีค่าเท่ากับครึ่งความยาวคลื่น  $\left(\frac{\lambda}{2}\right)$  ของความถี่สูงสุด และสายอากาศแต่ละต้นจะถูกกำหนดให้วางอยู่ที่ตำแหน่ง  $(m_1, m_2)$  เมื่อ  $-M_1 \leq m_1 \leq M_1$  และ  $-M_2 \leq m_2 \leq M_2$  โดยที่  $M$  และ  $N$  มีความสัมพันธ์กันคือ  $M_i = (N_i - 1)/2$



รูปที่ 2.11 โครงสร้างของระบบสายอากาศเก่งที่ก่อรูปคลื่นโดยวิธีประมวลผลเชิงตำแหน่งเพียงอย่างเดียว [11]

พิจารณาสัญญาณที่ตกกระทบ หรือถูกส่งออกไปในทิศทางมุนเօซิมัท (azimuth) ของสายอากาศacco ลำดับที่มุน  $\phi$  เมื่อ  $\theta = 90^\circ$  เพื่อสูงสัญญาณที่ตำแหน่ง  $(m_1, m_2)$  ของสายอากาศacco แลวลำดับเมื่อเทียบกับตำแหน่งอ้างอิงซึ่งเป็นจุดศูนย์กลางของระบบสายอากาศ จะมีค่าเท่ากับ

$$\psi(m_1, m_2) = \left( \frac{2\pi f}{c} \right) (d_1 m_1 \sin \phi + d_2 m_2 \cos \phi) \quad (2.2)$$

เมื่อ  $f$  คือ ความถี่ และ  $c$  คือ ความเร็วของคลื่นแม่เหล็กไฟฟ้าในว่าง และแบบรูปการแพร่พลังงานในฟังก์ชันของความถี่และมุนของคลื่นที่ตกกระทบของระบบสายอากาศเก่งสามารถเขียนได้ดังนี้

$$H(f, \phi) = G(f, \phi) \cdot \sum_{m_1=-M_1}^{M_1} \sum_{m_2=-M_2}^{M_2} w_{m_1, m_2} e^{j(2\pi f/c)(d_1 m_1 \sin \phi + d_2 m_2 \cos \phi)} \quad (2.3)$$

เมื่อ  $w_{m_1, m_2}$  คือ ค่าสัมประสิทธิ์การถ่วงน้ำหนักของสายอากาศที่ตำแหน่ง  $(m_1, m_2)$  และ  $G(f, \phi)$  คือ อัตราขยายของสายอากาศในฟังก์ชันของความถี่และมุน จากระยะที่ 2.3 เราจะทำการสร้างฟังก์ชันช่วย (auxiliary function) ขึ้นมา 2 ฟังก์ชัน ดังนี้

$$u_1 = (fd_1 / c) \sin \phi \quad (2.4)$$

$$\text{และ} \quad u_2 = (fd_2 / c) \cos \phi \quad (2.5)$$

สมการที่ 2.4 และ 2.5 มีความสัมพันธ์ดังนี้

$$\frac{u_1}{u_2} = \frac{d_1}{d_2} \tan \phi \quad (2.6)$$

สมการที่ 2.6 แสดงให้เห็นว่าอัตราส่วนของฟังก์ชันช่วยเป็นอิสระจากความถี่ ซึ่งหมายความว่า เราสามารถกำหนดความถี่ให้มีขนาดเท่าใดก็ได้ในทิศทางของมุนที่เราต้องการ จุดนี้เองทำให้ผลตอบสนองของระบบสายอากาศเก่งประณีตเป็นอิสระจากความถี่ คือสามารถกำหนดความถี่ให้มีความกว้างขนาดเท่าใดก็ได้ และเมื่อแทนสมการที่ 2.4 และ 2.5 ในสมการที่ 2.3 เราสามารถจัดรูปสมการใหม่ได้ดังนี้

$$H(u_1, u_2) = G(u_1, u_2) \cdot \sum_{u_1=-0.5}^{0.5} \sum_{u_2=0.5}^{0.5} w_{m_1, m_2} e^{j(2\pi)(u_1 m_1 + u_2 m_2)} \quad (2.7)$$

ระยะ  $u_1 - u_2$  และขอบเขตของ  $u_1$  และ  $u_2$  จะอยู่ในช่วง  $-0.5$  ถึง  $0.5$  เนื่องจาก

$$|u_1| = \left| \frac{fd_1}{c} \sin \phi \right| \leq \frac{fd_1}{c} \leq \frac{f}{c} \frac{\lambda_{\min}}{2} = \frac{f}{c} \frac{c}{2f_h} \leq 0.5 \quad (2.8)$$

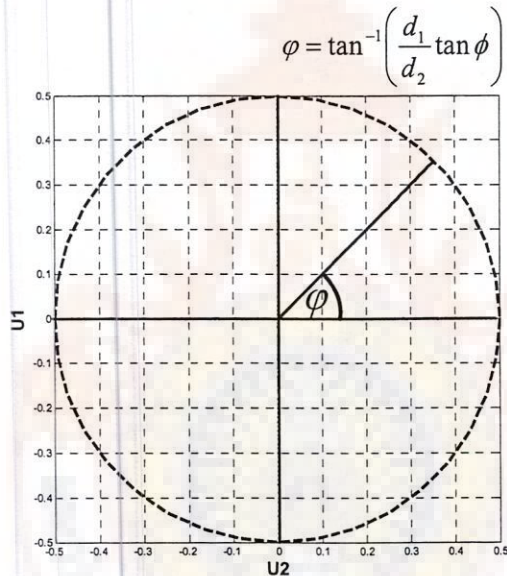
เช่นเดียวกับฟังก์ชันของ  $u_2$  นั้นคือ

$$|u_2| = \left| \frac{fd_2}{c} \cos \phi \right| \leq \frac{fd_2}{c} \leq \frac{f}{c} \frac{\lambda_{\min}}{2} = \frac{f}{c} \frac{c}{2f_h} \leq 0.5 \quad (2.9)$$

ถ้าเรากำหนดให้มุม  $\varphi$  เป็นมุมบนระนาบของ  $u_1 - u_2$  ดังนี้

$$\varphi = \tan^{-1} \left( \frac{d_1}{d_2} \tan \phi \right) \quad (2.10)$$

ซึ่งสามารถแสดงความสัมพันธ์ของมุม  $\varphi$  จากสมการที่ 2.10 บนระนาบ  $u_1 - u_2$  เมื่อ  $d_1 = d_2$  ได้ดังรูปที่ 2.12



รูปที่ 2.12 ความสัมพันธ์ของมุมในสมการที่ 3.9 บนระนาบ  $u_1 - u_2$

และสามารถจัดรูปสมการที่ 2.4 และ 2.5 ใหม่ได้ดังนี้

$$\left( \frac{u_1}{(fd_1/c)} \right)^2 = \sin^2 \phi \quad (2.11)$$

และ

$$\left( \frac{u_2}{(fd_2/c)} \right)^2 = \cos^2 \phi \quad (2.12)$$

นำสมการที่ 2.11 บวกกับสมการที่ 2.12 จะได้

$$\left( \frac{u_1}{(fd_1/c)} \right)^2 + \left( \frac{u_2}{(fd_2/c)} \right)^2 = \sin^2 \phi + \cos^2 \phi = 1 \quad (2.13)$$

จากสมการที่ 2.13 เมื่อพิจารณาเราจะเห็นว่า สมการที่ได้เป็นสมการของรูปวงรี ที่มีจุดศูนย์กลางอยู่ที่จุด  $u_1 = u_2 = 0$  และ จะกลายเป็นสมการวงกลมทันที เมื่อ  $d_1 = d_2$  นั่นคือจะได้  $u_1^2 + u_2^2 = (fd/c)^2$  โดยที่  $fd/c$  คือ รัศมีของวงกลม สมการที่ 2.10 และ 2.13 แทนการแสดง ตำแหน่งของมุม และความถี่ที่คงที่ในระนาบ  $u_1 - u_2$  ซึ่งรูปที่ 2.12 นี้จะใช้เป็นรูปที่ใช้ในการออกแบบผลตอบสนองของระบบแบบความถี่กว้างต่อไป

ถ้าเราสมมติให้ทิศทางการมาถึงของสัญญาณที่ต้องการคือ  $\phi = \phi_0$  ความถี่  $f_l < f < f_h$  และ  $f = f_0$  การแสดงจุดหรือตำแหน่งบนระนาบ  $u_1 - u_2$  ที่เราต้องการจะถูกจำกัดด้วยค่ามุม  $\varphi = \tan^{-1}((d_1/d_2) \tan \phi_0)$  และ  $r_l < |r| < r_h$  ดังแสดงในรูปที่ 2.13 โดยที่

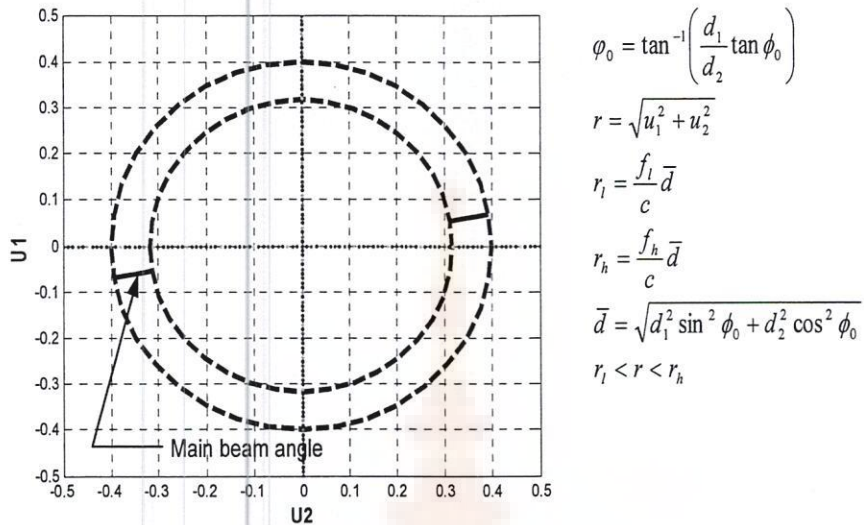
$$r_l = \frac{f_l}{c} \bar{d} \quad (2.14)$$

$$r_h = \frac{f_h}{c} \bar{d} \quad (2.15)$$

เมื่อ

$$\bar{d} = \sqrt{d_1^2 \sin^2 \phi_0 + d_2^2 \cos^2 \phi_0} \quad (2.16)$$

โดยตำแหน่งหรือจุดที่แสดงบนระนาบ  $u_1 - u_2$  จะสามารถกันที่จุดกำเนิดของระนาบ  $u_1 - u_2$  ส่งผลให้สามารถหาค่าจริงซึ่งเป็นค่าถ่วงน้ำหนักของสายอากาศแต่ละตัวได้



รูปที่ 2.13 ตัวอย่างการกำหนดทิศทางของการก่อรูปลำคลื่น และແບຄວາມຄືທີ່ໃຊ້ຈາກ

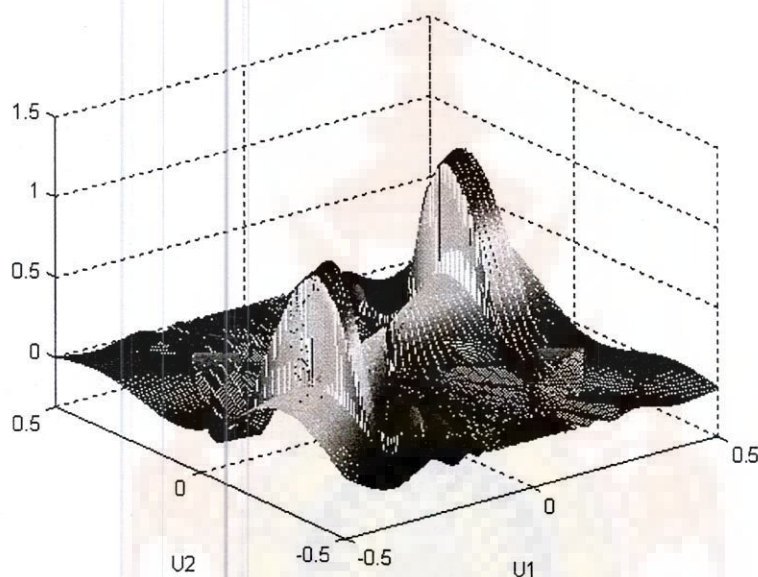
จากรูปที่ 2.13 ແສດງວກລມ 2 ວັບນະນາບ  $u_1 - u_2$  ຂຶ້ງວກລມ 2 ວັນໜີແທນຂອບເຂດຂອງແບຄວາມຄືທີ່ໃຊ້ຈາກຄື່ອ 1.9 GHz-2.4 GHz ໂດຍທີ່ຄວາມຄືສູງສຸດຂອງແບຄວາມຄືກໍາຫັດຄື່ອ 3 GHz ແລະ ທິສທາງຂອງພູກລື່ອນຫລັກຂຶ້ນໄປທີ່ມູນ  $10^\circ$

ໃນການກ່ຽວປະລິການຈະໃຊ້ພິບການແປລງຟູເຣີຮັກພັນຂອງສ້າງໝາຜວເວລາດີສຄຣີຕ ຊຶ່ງມີຮາຍລະເອີຍດັ່ງນີ້ ໃນບັນແກກກໍາຫັດໃຫ້ສາຍອາກາສແກວລຳດັບເຊີງຮະນາບ ແຕ່ລະຕົ້ນເປັນສາຍອາກາສແບນຮອບທິສທາງໃນຮະນາບເດືອນ (omnidirectional antenna) ດ້ວຍອັຕຣາຍຍາຍ  $G(u_1, u_2) = 1$  ດັ່ງນັ້ນແລະ ພຶກ්ຊັນ  $H(u_1, u_2)$  ເປັນພຶກ්ຊັນຊີງ (Sinc function) ໃນບຣິເວນທີ່ເຮົາເລືອກຊື່ເປັນແບຄວາມຄືທີ່ເຮົາຕ້ອງການ ມີຄ່າເທົ່າກັນ 1 ບຣິເວນນອກແນີ້ຈາກນັ້ນມີຄ່າເປັນ  $1/\sqrt{10}$  ຄື່ອ ມີຄ່າລາດລົງ 10 dB ສາມາຮັດແສດງສມການໄດ້ດັ່ງນີ້

$$H(u_1, u_2) = \begin{cases} \frac{\sin \left[ \alpha \pi \frac{u_1}{u_2} - \tan \phi_0 \right]}{\alpha \pi \frac{u_1}{u_2} - \tan \phi_0} & , r_l < |r| < r_h \\ \frac{1}{\sqrt{10}} & , otherwise \end{cases} \quad (2.17)$$

จากที่ได้กล่าวมาทั้งหมดในหัวข้อนี้ หากเราทำการจำลองโปรแกรมโดยกำหนดให้สายอากาศแคลบ์มีขนาด  $4 \times 4$  สายอากาศแต่ละต้นวางห่างกัน  $\frac{\lambda}{2}$  ที่ความถี่สูงสุดซึ่งเท่ากับ 3 GHz และแทนความถี่ที่ใช้งานคือ 1.9 - 2.5 GHz ความถี่กลาง 2.2 GHz ทิศของพุกลื่นหลักซึ่งที่มุน  $\phi_0 = 30^\circ$  และกำหนดให้มีแบบรูปการแผ่นลังงาน เป็นไปตามสมการที่ 2.17

ดังนั้นสามารถแสดงฟังก์ชันของ  $H$  ในระหว่าง  $u_1 - u_2$  ดังรูปที่ 2.14



รูปที่ 2.14 ฟังก์ชัน  $H$  ในระหว่าง  $u_1 - u_2$  ทิศของพุกลื่นหลักซึ่งที่มุน  $\phi_0 = 30^\circ$

และการหาค่าสัมประสิทธิ์การถ่วงน้ำหนัก จากการทำ IDFT จากสมการที่ 2.7 จะได้

$$w_{m_1, m_2} = (1 / N_{u_1} \cdot N_{u_2}) \sum_{u_1=-0.5}^{0.5} \sum_{u_2=-0.5}^{0.5} (H(u_1, u_2) / G(u_1, u_2)) \cdot e^{-j2\pi u_1 m_1} e^{-j2\pi u_2 m_2} \quad (2.18)$$

เมื่อ  $N_{u_1}$  และ  $N_{u_2}$  คือ จำนวนการซักตัวอย่างจุดบนระหว่าง  $u_1 - u_2$  โดยที่  $N_{u_1} \cong 2N_1$  และ  $N_{u_2} \cong 2N_2$  จึงจะทำให้ได้ค่าถ่วงน้ำหนักที่ให้แบบรูปมีเสถียรภาพ ถึงแม้ว่าจำนวนของสายอากาศจะมีขนาดเล็กก็ตาม

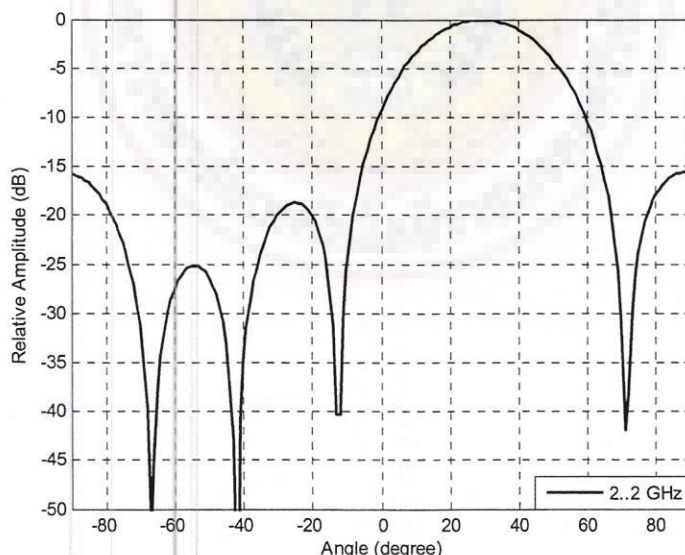
ดังนั้นเมื่อแทนค่าสมการที่ 2.18 สามารถคำนวณหาค่าสัมประสิทธิ์การถ่วงน้ำหนัก ซึ่งเป็นค่าลดตอนของระบบสายอากาศเก่ง และค่าที่ได้เป็นจำนวนจริง ส่วนค่าที่ติดเครื่องหมายคอกจัน คือ

สัญญาณที่ผ่านการถ่วงน้ำหนักด้วยสัมประสิทธิ์การถ่วงน้ำหนักแล้วจะถูกเลื่อนเฟสไปอีก  $180^\circ$  ดังแสดงในตารางที่ 2.2

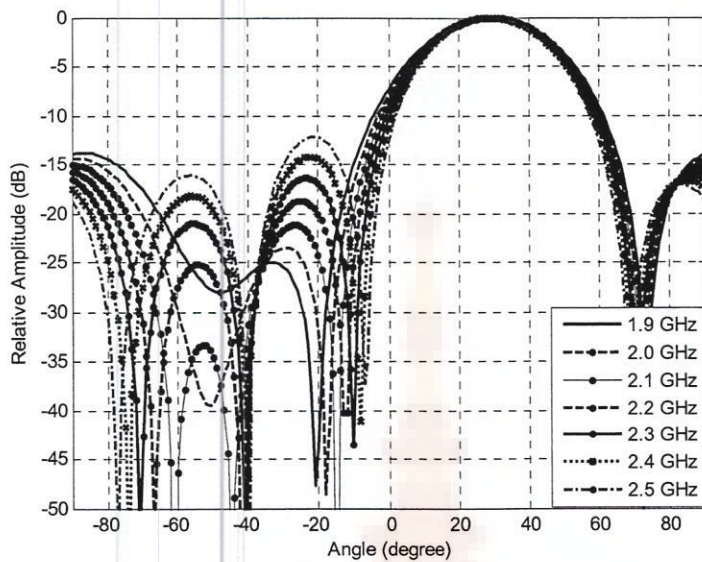
ตารางที่ 2.2 ค่าสัมประสิทธิ์การถ่วงน้ำหนักของระบบสายอากาศเก่งขนาด  $4 \times 4$

สายอากาศตัวที่	ค่าการลดthonของ สายอากาศ (dB)	สายอากาศตัวที่	ค่าการลดthonของ สายอากาศ (dB)
1	14.86	9	2.28
2	7.01*	10	0
3	2.98*	11	20.61*
4	12.23	12	2.61*
5	2.61*	13	12.23
6	20.61*	14	2.98*
7	0	15	7.01*
8	2.28	16	14.86

รูปที่ 2.15 และรูปที่ 2.16 แสดงแบบรูปการແเพลิงงานของสัญญาณที่ผ่านการถ่วงน้ำหนักแล้วของระบบสายอากาศเก่งที่ได้ออกแบบไว้ที่ความถี่  $2.2 \text{ GHz}$  และ  $1.9\text{-}2.5 \text{ GHz}$  ตามลำดับ โดยมีทิศของพุคลื่นหลักที่มุ่ง  $30^\circ$

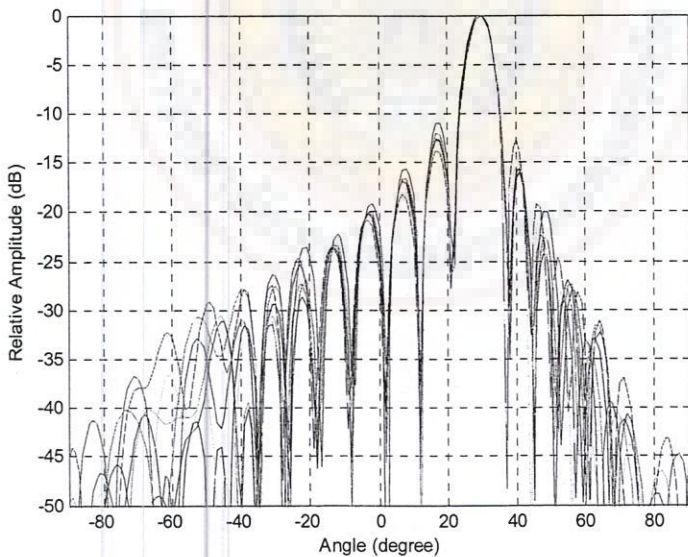


รูปที่ 2.15 แบบรูปการແเพลิงงานที่ความถี่  $2.2 \text{ GHz}$  เมื่อทิศของพุคลื่นหลักชี้ที่มุ่ง  $\phi_0 = 30^\circ$

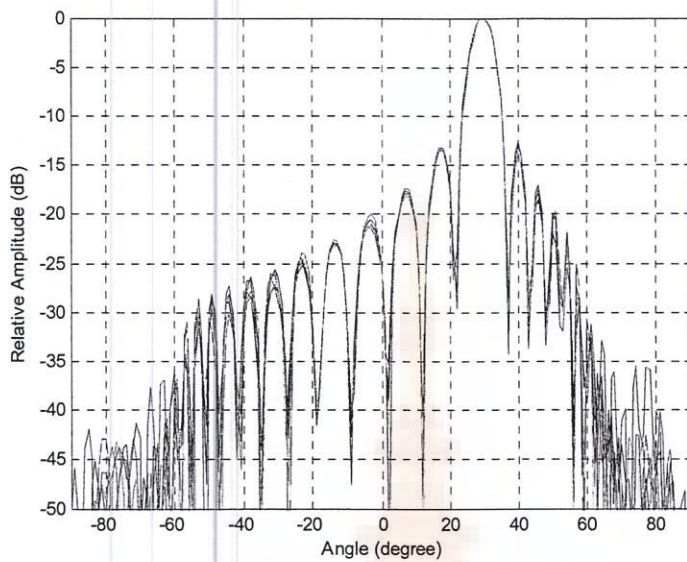


รูปที่ 2.16 แบบรูปการแผ่พลังงานที่ความถี่ 1.9-2.5 GHz เมื่อทิศของพุกคิ้นหลักซึ่งมุน  $\phi_0 = 30^\circ$

จากผลการจำลองค้างกล่าวหากเราเปลี่ยนขนาดของสายอากาศให้มีขนาดใหญ่ขึ้น เช่น สายอากาศแคลว์ลำดับมีขนาด  $20 \times 20$  หรือ  $50 \times 50$  ก็จะให้แบบรูปการแผ่พลังงานที่มีลำคิ้นหลักที่เกบลง ตามจำนวนสายอากาศที่เพิ่มขึ้น ดังแสดงในรูปที่ 2.18 และรูปที่ 2.19



รูปที่ 2.17 แบบรูปการแผ่พลังงานของสายอากาศขนาด  $20 \times 20$  ที่ความถี่ 1.9-2.5 GHz  
เมื่อทิศของพุกคิ้นหลักซึ่งมุน  $\phi_0 = 30^\circ$



รูปที่ 2.18 แบบรูปการแผ่พลังงานของสายอากาศนาค  $50 \times 50$  ที่ความถี่ 1.9-2.5 GHz  
เมื่อทิศของพุกคือหลักซึ่งมุม  $\phi_0 = 30^\circ$

### 2.5.2 การลดระดับพุข้างด้วยฟังก์ชันเชบีเชฟ

ในหัวข้อที่แล้วจะเห็นได้ว่า ค่าสัมประสิทธิ์การถ่วงน้ำหนักที่ได้จากการประมวลผล เชิงตำแหน่งเพียงอย่างเดียวเป็นค่าจริง ซึ่งการถ่วงน้ำหนักจะไม่ต้องอาศัย พิลเตอร์ หรือແນບสาย ประวิงแต่อย่างใด เพียงแค่ใช้ตัวลดTHONหรือตัวขยายสัญญาณเท่านั้น แต่อย่างไรก็ตามจะเห็นได้ว่า ระดับพุข้างยังมีระดับที่สูงอยู่ ซึ่งจะส่งผลให้มีอัตราส่วนสัญญาณต่อสัญญาณแทรกสอดที่ต่ำ และทำให้เกิดการลื่นเปลือยพลังงานโดยใช้เหตุ ในหัวข้อนี้จึงนำเสนอวิธีการลดระดับพุข้างด้วย ฟังก์ชันเชบีเชฟดังนี้

จากการใช้วิธีผลการแปลงฟูเรียร์ผกผันของสัญญาณเวลาดิจิตอลในการหาค่า สัมประสิทธิ์การถ่วงน้ำหนักของสายอากาศแต่ละต้นในดังสมการที่ 2.18 ซึ่งถ้าเราให้ แบบรูปการ แผ่พลังงานของสายอากาศเป็นไปตามฟังก์ชัน  $H(u_1, u_2)$  ที่พิจารณาขึ้นเป็นฟังก์ชันซิงค์ จะให้ อัตราขยายของสายอากาศสูงสุดในทิศทางที่เราต้องการเท่านั้น จึงทำให้ระดับพุข้างสูง ดังนั้นเพื่อ เป็นการลดระดับของพุข้าง จึงนำเสนอการใช้ฟังก์ชันเชบีเชฟแทนที่ฟังก์ชันเดิม ซึ่งสามารถหาแบบ รูปการแผ่พลังงานที่ต้องการบนระนาบ  $u_1 - u_2$  ได้ดังนี้

$$H(u_1, u_2) = \begin{cases} X & \text{desired frequency band} \\ \frac{1}{\sqrt{10}} & \text{otherwise} \end{cases} \quad (2.19)$$

เมื่อ  $X = \begin{cases} (-1)^N \cosh(N \cdot \arccos h|x|) & , x < -1 \\ \cos(N \cdot \arccos x) & , |x| \leq 1 \\ \cosh(N \cdot \arccos h x) & , x \geq 1 \end{cases}$  (2.20)

และ  $x = x_0 \cos(u/2)$

$$x_0 = \cosh \frac{\operatorname{arccoh} SLL_{dB}}{N-1}$$

$$u = \left(\frac{2\pi}{\lambda}\right) d \sin \phi$$

$SLL_{dB}$  คือ ระดับพูข้างในหน่วยเดซิเบล

ดังนั้น

$$x = x_0 \cos\left(\left(\frac{2\pi}{\lambda}\right) d \sin \phi\right) \quad (2.21)$$

แล้วจากสมการที่ 2.21 มุ่งที่เข้ามาของสัญญาณที่จำลองขึ้นในระบบของ  $u_1 - u_2$  คือ

$$\theta = a \tan\left(\frac{u_1}{u_2} - \phi_0\right) \quad (2.22)$$

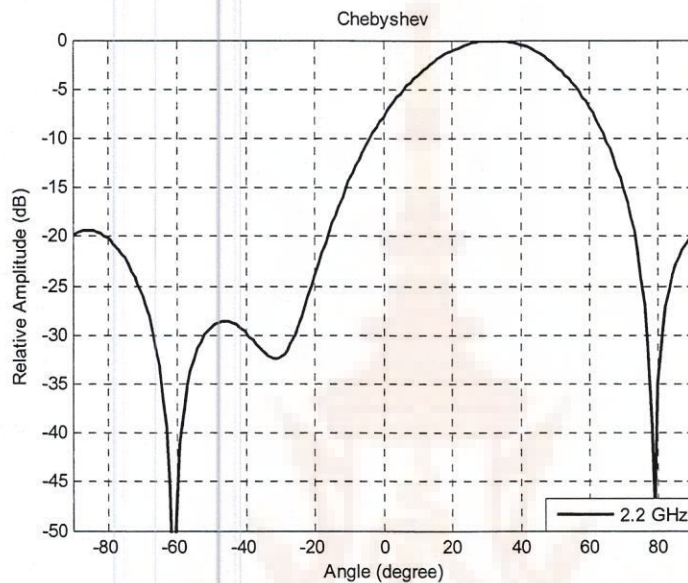
เมื่อนำไปแทนค่าในสมการที่ 2.20 จะได้

$$x = x_0 \cos\left(\frac{2\pi}{\lambda} d \sin\left(a \tan\left(\frac{u_1}{u_2}\right) - \phi_0\right)/2\right)$$

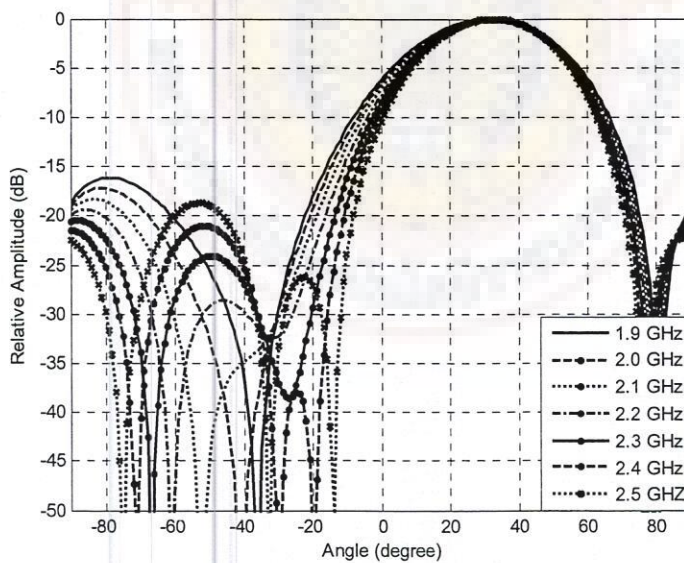
หรือ

$$x = x_0 \cos\left(\pi \sin\left(a \tan\left(\frac{u_1}{u_2}\right) - \phi_0\right)/2\right) \quad (2.23)$$

จากการจำลองระบบสายอากาศเก่งในคอมพิวเตอร์หัวข้อที่แล้ว แต่ทำการเปลี่ยนมาใช้ฟังก์ชัน  $H$  แบบเชบีเชฟแทนในหัวข้อนี้ และกำหนดให้  $SLL=30$  dB จะได้แบบรูปการเผยแพร้งานดังแสดงในรูปที่ 2.19 และ 2.20



รูปที่ 2.19 แบบรูปการเผยแพร้งานเมื่อใช้ฟังก์ชันเชบีเฟที่ความถี่ 2.2 GHz  
เมื่อทิศของพุกลื่นหลักซึ่งที่มุน  $\phi_0 = 30^\circ$



รูปที่ 2.20 แบบรูปการเผยแพร้งานเมื่อใช้ฟังก์ชันเชบีเฟที่ความถี่ 1.9-2.5 GHz  
เมื่อทิศของพุกลื่นหลักซึ่งที่มุน  $\phi_0 = 30^\circ$

เปรียบเทียบผลการจำลองจากรูปที่ 2.15 กับ 2.19 และรูปที่ 2.16 กับ 2.20 จะเห็นได้ว่าระดับของพุข้างในรูปที่ 2.19 มีระดับต่ำกว่าในรูปที่ 2.15 เช่นเดียวกับ รูปที่ 2.20 ก็มีระดับพุข้างต่ำกว่าในรูปที่ 2.16 เช่นกัน

### 2.5.3 การก่อรูปลำคลื่นหลายลำคลื่นด้วยการประมวลผลเชิงคำแห่งเพียงอย่างเดียว

ในการก่อรูปลำคลื่นของระบบสายอากาศเก็บน้ำ เราสามารถก่อรูปลำคลื่นไปในทิศทางที่เราต้องการได้ โดยอาจก่อรูปลำคลื่นเพียงลำคลื่นเดียว หรือหลายลำคลื่นในเวลาเดียวกันก็ได้ การก่อรูปลำคลื่นแบบหลายลำคลื่นนั้นมีประโยชน์มากสำหรับการใช้งานภายในอาคาร ตัวอย่างเช่น ในโรงพยาบาล ซึ่งจะมีบริเวณ หรือห้องบางห้องที่ไม่จำเป็นต้องใช้งาน เนื่องจากสัญญาณอาจไปรบกวนการทำงานของแพทย์ เช่น ห้องผ่าตัด หรือห้องอีกซ์เรย์ เป็นต้น ซึ่งในระบบโดยทั่วไปการแผ่พลังงานของสัญญาณจะมีลักษณะเป็นแบบรอบทิศทางในระนาบเดียว ทำให้สื่นเปลืองพลังงาน โดยไม่จำเป็นไปในบริเวณที่ไม่ต้องการ การก่อรูปลำคลื่นหลายลำคลื่นไปในเฉพาะบริเวณที่ต้องการจึงทำให้ประหยัดพลังงาน

การก่อรูปลำคลื่นในหลายทิศทางนั้นสามารถทำได้โดยนำฟังก์ชัน  $H$  บนระนาบ  $u_1 - u_2$  ในแต่ละทิศทางมารวมกันดังนี้

$$H(u_1, u_2) = H_{\theta_1}(u_1, u_2) + H_{\theta_2}(u_1, u_2) + \dots + H_{\theta_L}(u_1, u_2) \quad (2.24)$$

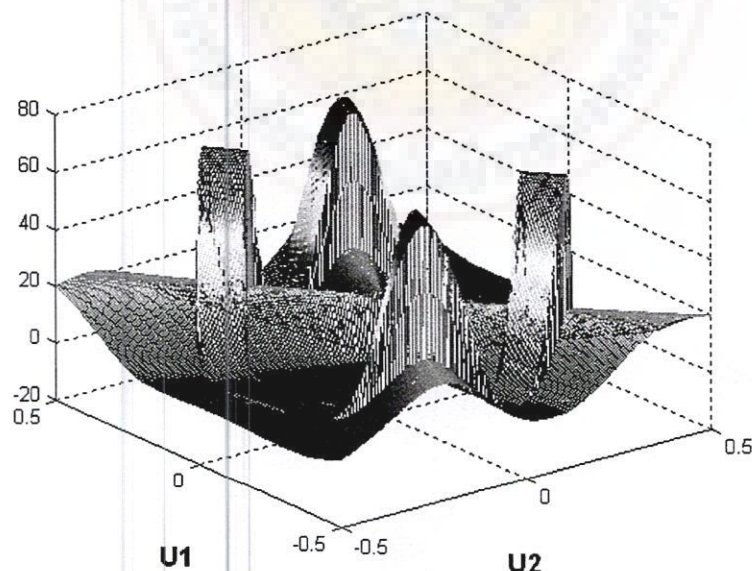
เมื่อ  $H_{\theta_1}(u_1, u_2), H_{\theta_2}(u_1, u_2), \dots, H_{\theta_L}(u_1, u_2)$  แทนแบบรูปการแผ่พลังงานไปใน  $L$  ทิศทาง ตัวอย่างของค่าสัมประสิทธิ์การถ่วงน้ำหนักที่คำนวณได้มีเมื่อต้องการก่อรูปลำคลื่นใน 2 ทิศทาง มีดังนี้ กำหนดให้ระบบสายอากาศเก่งสามารถก่อรูปลำคลื่นออกไปใน 2 ทิศทาง คือ มุม  $-50^\circ$  และมุม  $65^\circ$  ระดับพุข้าง  $30 \text{ dB}$  โดยใช้สายอากาศแฉลลำดับขนาด  $6 \times 6$  ที่ความถี่  $1.8 \text{ GHz}$  ถึง  $2.4 \text{ GHz}$  สามารถหาค่าสัมประสิทธิ์การถ่วงน้ำหนักของสายอากาศทั้ง 36 ตัวได้ดังตารางที่ 2.3 และเราสามารถแสดงฟังก์ชัน  $H$  โดยใช้ฟังก์ชันเชบีเชฟแบบ 2 ลำคลื่นในระนาบของ  $u_1 - u_2$  รวมทั้งแบบรูปการแผ่พลังงานของระบบสายอากาศเก่ง ได้ดังรูปที่ 2.21 และ 2.22 ตามลำดับ

ตารางที่ 2.3 ค่าสัมประสิทธิ์การถ่วงน้ำหนักของสายอากาศแควร์ล์บัน  $6 \times 6$  เมื่อกำหนดให้ก่อรูปคลื่นไปยัง  $-50^\circ$  และมุม  $65^\circ$

สายอากาศตัวที่	ค่าการลดthonของสายอากาศ (dB)
15,17,20,22	0
3,4,8,16,21,29,23,34	4
1,5,32,36	8
2,9,28,35	10
12,25	16
10,18,1927	18
6,11,26,31	20
4,7,30,33,	28
13,24	32

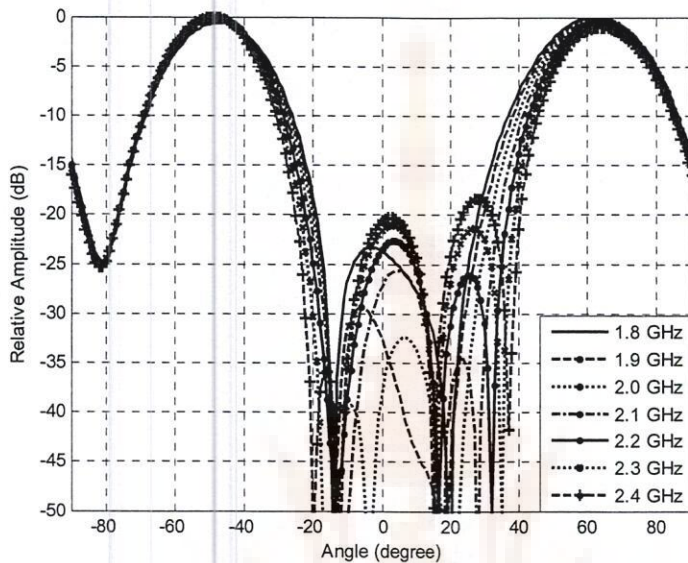
รูปที่ 2.21 เป็นรูปพื้นที่ชั้น  $H$  โดยใช้พื้นที่ชั้นเชิงเชฟในการก่อรูปคลื่นบนในระนาบ  $u_1 - u_2$  ในทิศทางมุม  $-50^\circ$  และ  $65^\circ$  โดยแทนสมการของ  $H$  ได้คือ

$$H(u_1, u_2) = H_{-50^\circ}(u_1, u_2) + H_{65^\circ}(u_1, u_2) \quad (2.25)$$



รูปที่ 2.21 พื้นที่ชั้น  $H$  บนระนาบ  $u_1 - u_2$  ที่มุม  $-50^\circ$  และ  $65^\circ$

ส่วนในรูปที่ 2.22 แสดงให้เห็นถึงแบบรูปการแผ่พลังงานของสายอากาศ ในทิศที่พคลื่นหลัก ซึ่งทั้งหมด -50° และ 65° ที่ความถี่ 1.8 - 2.4 GHz



รูปที่ 2.22 แบบรูปการแผ่พลังงานของระบบสายอากาศเก่งขนาด  $6 \times 6$   
ที่ความถี่ 1.8-2.4 GHz ในทิศทางมุม  $-50^\circ$  และ  $65^\circ$

วิธีการก่อรูปลำคลื่นที่ใช้งานในเดบกว้างด้วยวิธีการประมวลผลเชิงตำแหน่งเพียงอย่างเดียว โดยการประยุกต์ใช้ผลการแปลงฟูเรียร์ปกผันของสัญญาณเวลาดิจิตรอน ให้คำสั่งประสิทธิ์การถ่วงน้ำหนักที่เป็นจำนวนจริง โดยในทางปฏิบัติสามารถใช้ตัวขยาย หรือตัวลดทอนสัญญาณเพื่อมาถ่วงน้ำหนักได้ โดยแบบรูปการแผ่พลังงานถูกกำหนดด้วยฟังก์ชันซิงค์ที่ให้ระดับของพูข้างค่อนข้างสูง จึงได้มีการเปลี่ยนมาใช้ฟังก์ชันเชบีเชฟแทนเพื่อให้ได้ระดับของพูข้างที่ดีขึ้น นอกจากนี้ยังสามารถก่อรูปลำคลื่นไปได้ในหลายทิศทางในเวลาเดียวกัน โดยการนำฟังก์ชันของแบบรูปที่ต้องการในแต่ละทิศทางมารวมกันนั่นเอง

## 2.6 การวิเคราะห์และปรับแต่งค่าสัมประสิทธิ์การถ่วงน้ำหนักสำหรับการก่อรูปลำคลื่นเดียว

ในส่วนนี้จะนำเสนอแนวคิด และความเป็นไปได้ในการปรับแต่งค่าสัมประสิทธิ์การถ่วงน้ำหนัก เพื่อให้ค่าสัมประสิทธิ์การถ่วงน้ำหนักที่ได้มีค่าเป็นจำนวนเต็ม และมีช่วงในการถ่วงน้ำหนักที่แนบลงกว่าเดิม นั่นคือ มีค่าสูงสุดของการถ่วงน้ำหนักที่ลดต่ำลง ซึ่งจะมีประโยชน์ในการนำไปใช้งานในระบบจริง คือ ไม่ว่าระบบจะใช้ด้วยข่าย หรือตัวลดทอนก็ไม่จำเป็นต้องสร้างตัวข่าย หรือตัวลดทอน ที่ให้ค่าช่วงสัมประสิทธิ์การถ่วงน้ำหนักที่กว้างซึ่งเป็นความยุ่งยากในการสร้าง และต้นทุนในการผลิตก็มีราคาสูง นอก จากนี้ ด้วยค่าสัมประสิทธิ์ที่เป็นจำนวนเต็มก็ทำให้การปรับค่าการใช้งานของสัมประสิทธิ์การถ่วงน้ำหนักง่ายขึ้นด้วย แต่อย่างไรก็ตามในการศึกษาแนวคิด และความเป็นไปได้ในการปรับแต่งค่าสัมประสิทธิ์การถ่วงน้ำหนัก ค่าสัมประสิทธิ์การถ่วงน้ำหนัก ที่ได้ปรับแต่งใหม่นั้นยังคงให้แบบรูปการแพเพลิงงานที่มีคุณสมบัติเหมือน หรือดีกว่าเดิม เช่น พุคลื่นหลักชีทิกในทิศทางที่ต้องการเหมือนเดิม มีระดับพูข้างต่ำ มีความกว้างของลำคลื่นหลักต่ำ เป็นต้น

### 2.6.1 การปรับแต่งค่าสัมประสิทธิ์การถ่วงน้ำหนัก

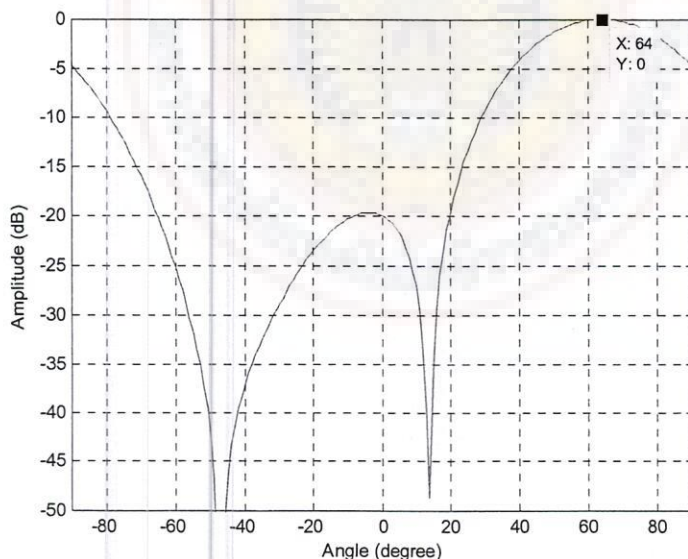
ในการคำนวณหาค่าสัมประสิทธิ์การถ่วงน้ำหนักของระบบสายอากาศเก่ง ซึ่งใช้วิธีการประมวลผลเชิงตำแหน่งเพียงอย่างเดียว ร่วมกับการใช้ฟังก์ชันเซบีเชฟเพื่อลดระดับพูข้างของแบบรูปการแพเพลิงงาน ซึ่งผู้วิจัยได้ทำการจำลองแบบของระบบสายอากาศเก่งดังกล่าวด้วยโปรแกรม แมทແเลนในการคำนวณหาค่าสัมประสิทธิ์การถ่วงน้ำหนัก และแบบรูปการแพเพลิงงาน และกำหนดค่าต่างๆของระบบสายอากาศเก่งดังนี้ ระบบสายอากาศเก่งที่จำลองแบบมีขนาด  $4 \times 4$  ทำงานในช่วงความถี่  $1.9 \text{ GHz} - 2.4 \text{ GHz}$  ที่ความถี่สูงสุดของแบบความถี่เท่ากับ  $3 \text{ GHz}$  ระยะห่างระหว่างสายอากาศเท่ากันใน  $2 \text{ มิติ}$  คือ  $50 \text{ mm}$ . และระดับของพูข้างเท่ากับ  $-30 \text{ dB}$  และกำหนดให้ทิศทางการเข้ามาของสัญญาณที่ต้องการที่มุม  $65^\circ$

เมื่อทำการประมวลผลตามที่ได้กำหนดไว้ ทำให้ได้ค่าสัมประสิทธิ์การถ่วงน้ำหนักของสายอากาศแต่ละตัว ดังตารางที่ 2.4 และได้แบบรูปการแพเพลิงงานดังรูปที่ 2.23

ตารางที่ 2.4 ค่าสัมประสิทธิ์การถ่วงน้ำหนักของสายอากาศแควลำดับ ขนาด  $4 \times 4$

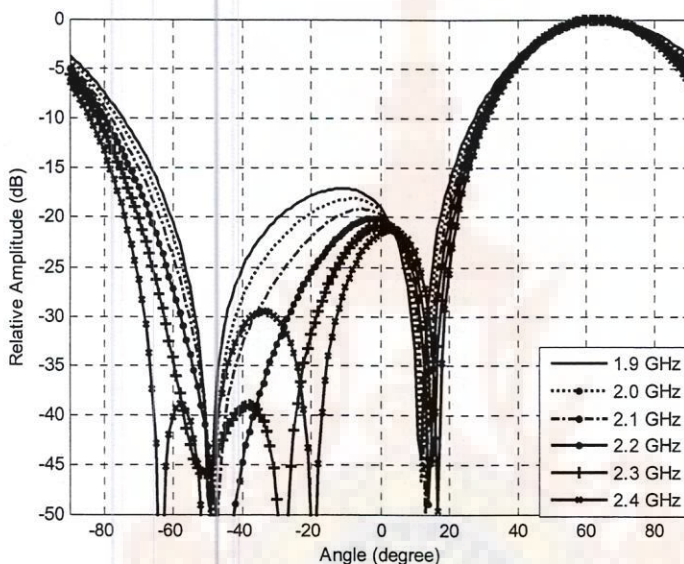
สายอากาศตัวที่	ค่าสัมประสิทธิ์การถ่วงน้ำหนัก (dB)	สายอากาศตัวที่	ค่าสัมประสิทธิ์การถ่วงน้ำหนัก (dB)
1	22.0619*	9	3.8866*
2	7.4221*	10	0
3	4.6020	11	42.2949
4	18.1778	12	5.1226*
5	5.1226*	13	18.1778
6	42.2949	14	4.6020
7	0	15	7.4221*
8	3.8866*	16	22.0619*

จากตารางจะเห็นได้ว่าค่าสัมประสิทธิ์การถ่วงน้ำหนักส่วนใหญ่จะไม่เป็นเลขจำนวนเต็ม จึงยกเวกการนำไปใช้งานจริงในทางปฏิบัติ และช่วงของการถ่วงน้ำหนักของค่าสัมประสิทธิ์การถ่วงน้ำหนักมีค่าประมาณระหว่าง 0-42 dB ซึ่งจะเห็นว่าเป็นช่วงที่ค่อนข้างกว้าง และเมื่อนำไปถ่วงน้ำหนักที่สายอากาศทั้ง 16 ตัว สามารถแสดงแบบรูปการແเพลิงงานได้ดังรูปที่ 2.23



รูปที่ 2.23 แบบรูปการແเพลิงงานในทิศทางการเข้ามาของสัญญาณที่มุม  $65^\circ$   
ที่ความถี่ 2.15 GHz

นอกจากนี้เมื่อพิจารณาในรูปที่ 2.24 จะเห็นว่าระดับพูข้าง และทิศทางของมุมที่เข้ามานั้นไม่เป็นไปตามที่กำหนด คือ ระดับพูข้างอยู่ที่ประมาณ -19 dB และทิศทางของพูคลื่นหลักซึ่งไปที่มุม  $64^\circ$  แสดงให้เห็นถึงค่าความคลาดเคลื่อนที่เกิดของค่าสัมประสิทธิ์การถ่วงน้ำหนักเดิม ซึ่งผลการจำลองแบบรูปการแผ่พลังงาน ดังแสดงในรูปที่ 2.24 สถาบันแคนความถี่ตั้งแต่ 1.9 GHz ถึง 2.4 GHz ให้ผลที่ไม่แตกต่างไปจากเดิมที่ได้กล่าวไว้



รูปที่ 2.24 แบบรูปการแผ่พลังงานในทิศทางการเข้ามาของสัญญาณที่มุม  $65^\circ$   
ที่ความถี่ 1.9-2.4 GHz

ดังนั้นจึงทำการปรับแต่งค่าสัมประสิทธิ์การถ่วงน้ำหนักโดยปรับแต่งแบบจำลองโปรแกรมเพื่อหาค่าสัมประสิทธิ์การถ่วงน้ำหนักใหม่ ให้มีช่วงของการเปลี่ยนแปลงค่าสัมประสิทธิ์การถ่วงน้ำหนักที่น้อยลง และกำหนดให้ค่าที่ได้เป็นเลขจำนวนเต็ม โดยมีลำดับขั้นตอนของการปรับแต่งค่าใหม่ ดังนี้

1. ประมาณค่าจากค่าสัมประสิทธิ์การถ่วงน้ำหนักเดิมเป็นเลขจำนวนเต็ม
2. ค่าสัมประสิทธิ์การถ่วงน้ำหนักที่ได้ใหม่จะต้องมีค่าอยู่ระหว่าง 0-24 dB
3. กำหนดช่วงในการเปลี่ยนค่า โดยให้มากกว่า และน้อยกว่าค่าเดิม 2 dB และยังอยู่ในช่วง 0-24 dB เท่านั้น
4. ทำการจำลองโปรแกรม โดยให้ความสนใจกับค่าสัมประสิทธิ์การถ่วงน้ำหนักที่ให้แบบรูปการแผ่พลังงานในทิศทางที่กำหนดเท่านั้น

ผลจากการจำลองปรากฏว่ามีชุดค่าสัมประสิทธิ์การถ่วงน้ำหนักที่ให้แบบรูปในทิศทางที่กำหนดจำนวน 8,919 ชุด และแบบรูปที่ไม่ให้ทิศทางตามที่กำหนดจำนวน 37,956 ชุด โดยตัวอย่างของค่าสัมประสิทธิ์การถ่วงน้ำหนัก ที่ปรับแต่งใหม่ทั้ง 16 ค่า ให้ผลดังตารางที่ 2.5

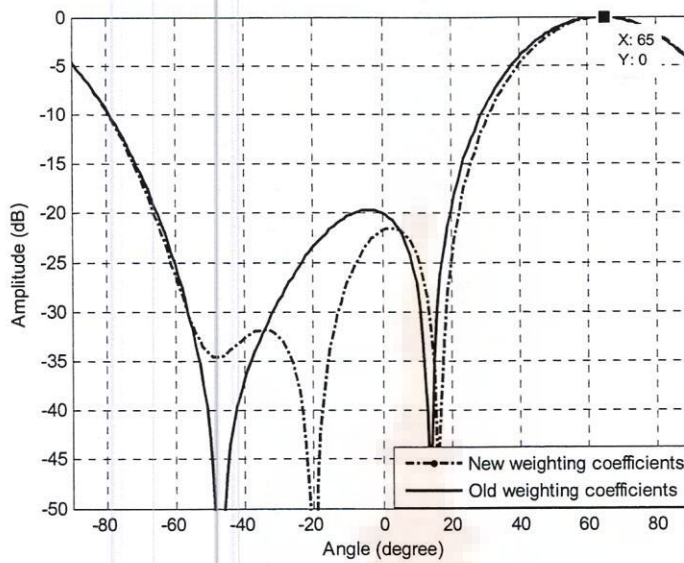
ตารางที่ 2.5 ค่าสัมประสิทธิ์การถ่วงน้ำหนักของสายอากาศแคลว์ที่ได้จากการปรับแต่งค่าใหม่

สายอากาศตัวที่	ค่าสัมประสิทธิ์การถ่วงน้ำหนัก (dB)	สายอากาศตัวที่	ค่าสัมประสิทธิ์การถ่วงน้ำหนัก (dB)
1	21*	9	3*
2	7*	10	0
3	4	11	24
4	20	12	7*
5	7*	13	20
6	24	14	4
7	0	15	7*
8	3*	16	21*

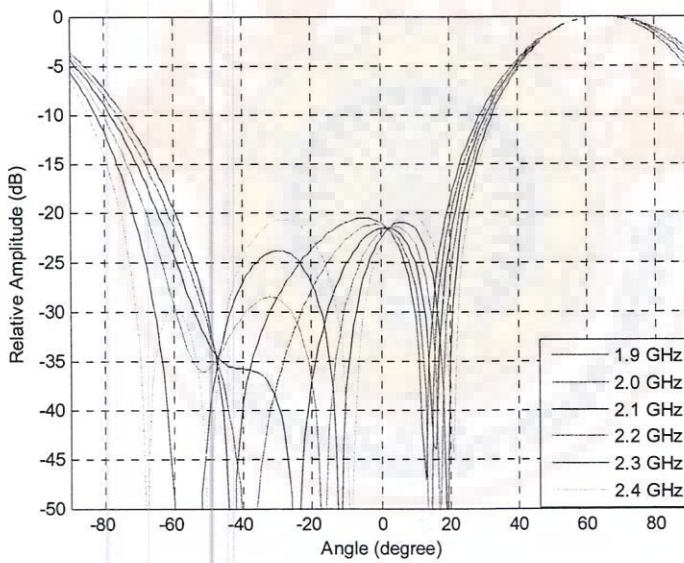
จากตารางที่ 4.2 จะเห็นได้ว่าค่าสัมประสิทธิ์การถ่วงน้ำหนักของสายอากาศทั้งหมดมีค่าตั้งแต่ 0-24 dB เท่านั้น ซึ่งช่วงการถ่วงน้ำหนักน้อยกว่าแบบเดิมที่ 18 dB โดยแบบเดิมนั้นมีช่วงการถ่วงน้ำหนักประมาณระหว่าง 0-42 dB และค่าสัมประสิทธิ์การถ่วงน้ำหนักยังให้แบบรูปการแผ่พลังงานที่ดีกว่าแบบเดิม นั่นคือ ลำคลื่นหลักซึ่ก็ได้ตรงกับทิศทางที่ต้องการ ระดับของพุ่งข้างคลอง รวมทั้ง ความกว้างของลำคลื่นหลักก็คล่องด้วย ดังแสดงในรูปที่ 2.25

จากรูปที่ 2.26 แสดงให้เห็นว่าค่าสัมประสิทธิ์การถ่วงน้ำหนักที่แบบความถี่กว้าง 1.9 -2.4 GHz ก็ยังคงรักษากุณสมบัติของแบบรูปการแผ่พลังงานได้เหมือนเดิม

ดังนั้น ในการวิจัยต่อไปจึงสนใจที่จะศึกษา วิเคราะห์ และหาวิธีปรับแต่งค่าสัมประสิทธิ์การถ่วงน้ำหนักที่ได้จากการประมวลผลสัญญาณเชิงตำแหน่งเพียงอย่างเดียวของระบบสายอากาศเก่งที่ใช้งานในแบบความถี่กว้าง เพื่อให้ช่วงการทำงานของค่าการถ่วงน้ำหนักแคบลง แต่ยังคงรักษากุณสมบัติของแบบรูปการแผ่พลังงานของระบบได้เหมือนเดิม



รูปที่ 2.25 การเปรียบเทียบแบบรูปการแผ่พลังงานในทิศทางการเข้ามาของสัญญาณที่มุน  $65^\circ$  ที่ความถี่  $2.15 \text{ GHz}$  ที่ได้จากการปรับแต่งค่าสัมประสิทธิ์การถ่วงน้ำหนักใหม่



รูปที่ 2.26 แบบรูปการแผ่พลังงานในทิศทางการเข้ามาของสัญญาณที่มุน  $65^\circ$  ที่ความถี่  $1.9\text{-}2.4 \text{ GHz}$  ที่ได้จากการปรับแต่งค่าสัมประสิทธิ์การถ่วงน้ำหนักใหม่

## 2.7 กล่าวสรุป

จากการทดลองจำลองแบบด้วยโปรแกรมแมทແลดจะเห็นได้ว่า เราสามารถจะหาค่าสัมประสิทธิ์การถ่วงน้ำหนักที่เป็นจำนวนเต็ม และมีช่วงของการถ่วงน้ำหนักกึ่งแคบลงกว่าเดิมอย่างเห็นได้ชัด ทำให้มีอ่อนนำไปสร้างเป็นตัวถ่วงน้ำหนักจะทำได้ง่ายขึ้น และต้นทุนในการผลิตก็ต่ำลง อีกทั้งยังให้ผลของแบบรูปการແเพลิงงานที่ยังคงรักษามาตรฐานของแบบเดิม ไม่ว่าจะเป็นทิศทางของลำคลื่นหลัก ความกว้างของลำคลื่นหลัก และระดับของพูข้าง ดังนั้นการวิเคราะห์ และปรับแต่งค่าสัมประสิทธิ์การແเพลิงงานใหม่จึงส่งผลดีต่อประสิทธิภาพของระบบสายอากาศเก่งที่ใช้งานกับแบบความถูกว้างต่อไป

## บทที่ 3

# การวิเคราะห์และปรับแต่งค่าสัมประสิทธิ์การถ่วงน้ำหนักของตัวก่อรูปลำคลื่น แบบหลายลำคลื่นในแบบความถี่กว้าง

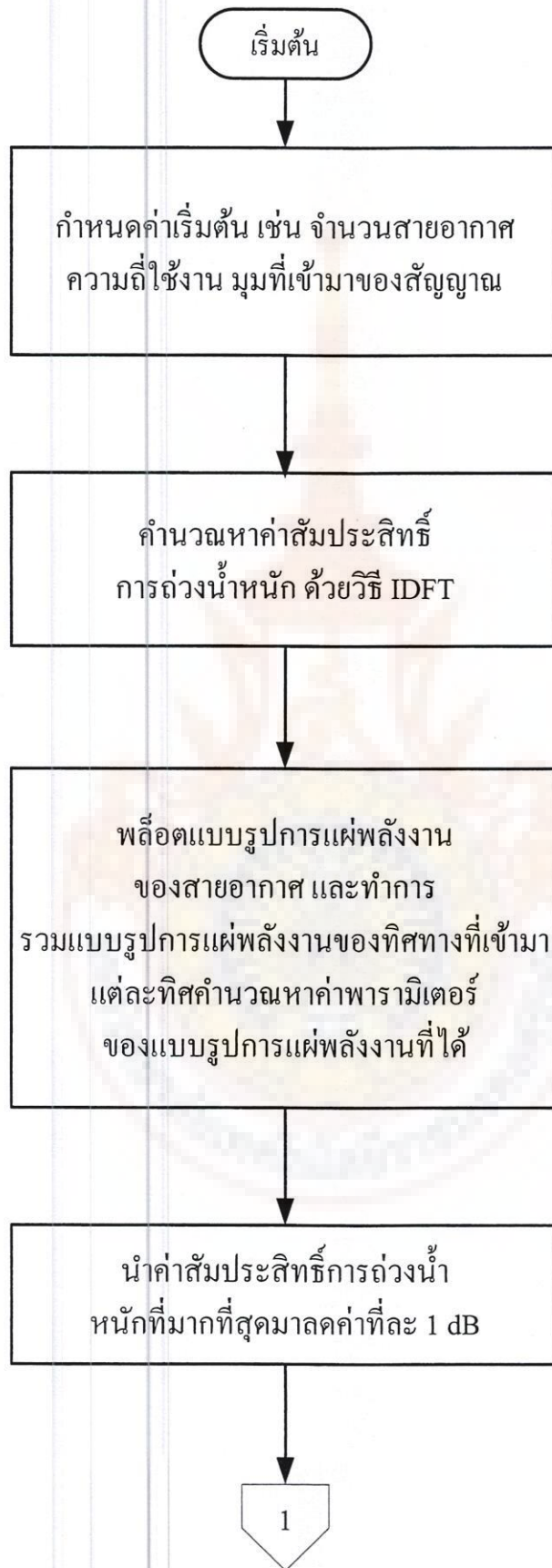
### 3.1 กล่าวนำ

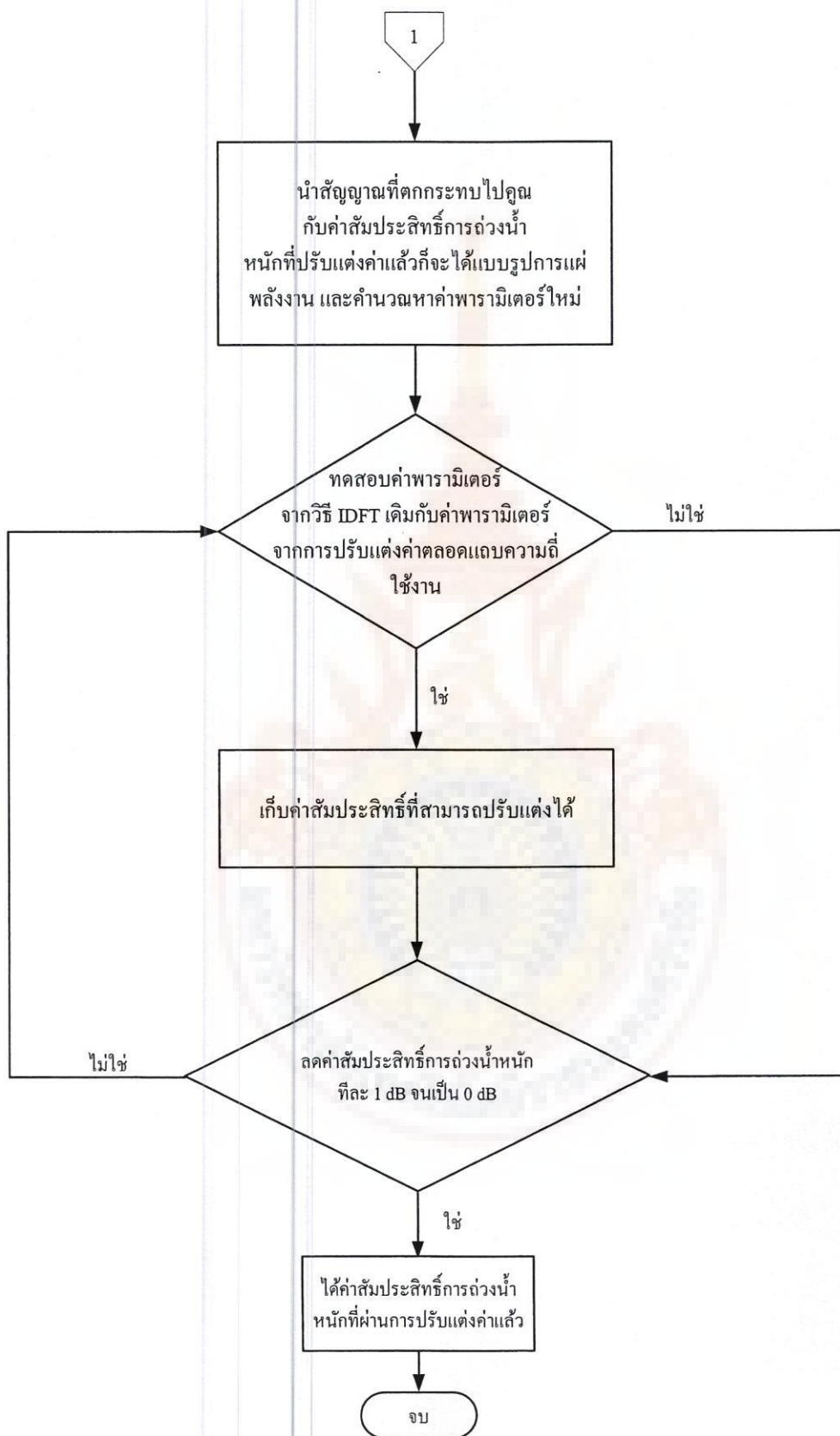
บทนี้จะนำเสนอแนวคิด และความเป็นไปได้ในการปรับแต่งค่าสัมประสิทธิ์การถ่วงน้ำหนัก เพื่อให้ค่าสัมประสิทธิ์การถ่วงน้ำหนักที่ได้ ใหม่ค่าเป็นจำนวนเต็ม และได้ค่าพารามิเตอร์ของสายอากาศเป็นไปตามเงื่อนไขที่ได้กำหนดไว้ เช่น มีค่าสัมประสิทธิ์การถ่วงน้ำหนักที่สูลสุดมีค่าลดลง นั่นคือ ซึ่งจะมีประโยชน์ในการนำไปใช้งานในระบบจริง คือ ไม่ว่าระบบจะใช้ตัวขยาย หรือ ตัวลดตอนก์ไม่จำเป็นต้องสร้างตัวขยาย หรือตัวลดตอน ที่ให้ค่าซึ่งสัมประสิทธิ์การถ่วงน้ำหนักที่ กว้างซึ่งเป็นความยุ่งยากในการสร้าง และต้นทุนในการผลิตก็มีราคาสูง นอกจากนี้ด้วยค่า สัมประสิทธิ์ที่เป็นจำนวนเต็มที่ทำให้การปรับแต่งการใช้งานของสัมประสิทธิ์การถ่วงน้ำหนักง่ายขึ้น ด้วย นอกจากนี้ค่าพารามิเตอร์ เช่น แบบรูปการแพเพลنجานที่มีคุณสมบัติเหมือน หรือคิวว่าเดิน เช่น พุกคลื่นหลักซึ่งทิศในทิศทางที่ต้องการเหมือนเดิม มีระดับพุข้างต่ำ มีความกว้างของลำคลื่นหลักต่ำ เป็นต้น

### 3.2 การปรับแต่งค่าสัมประสิทธิ์การถ่วงน้ำหนัก

ในการคำนวณหาค่าสัมประสิทธิ์การถ่วงน้ำหนักของระบบสายอากาศเก่ง ซึ่งใช้วิธีการ ประมวลผลเชิงตำแหน่งเพียงอย่างเดียว ร่วมการใช้ฟังก์ชันเซนเซฟเพื่อลดระดับพุข้างของแบบ รูปการแพเพลنجาน ซึ่งผู้วิจัยได้ทำการจำลองแบบของระบบสายอากาศเก่งดังกล่าวด้วยโปรแกรม แมทแล็บ กำหนดค่าต่างๆของระบบสายอากาศเก่งดังนี้ ระบบสายอากาศเก่งที่จำลองแบบมีขนาด ตั้งแต่  $5 \times 5$  ถึง  $8 \times 8$  องค์ประกอบ และทำงานในช่วงความถี่  $1.8 \text{ GHz} - 2.5 \text{ GHz}$  มี Fraction Bandwidth เท่ากับ  $32.56\%$  ซึ่งเป็นช่วงແນບความถี่กว้าง และมีความถี่สูงสุดของແນບความถี่เท่ากับ  $3 \text{ GHz}$  ระยะห่างระหว่างสายอากาศเท่ากันใน  $2 \text{ มิติ}$  คือ  $50 \text{ mm}$ .

ต่อไปทำการออกแบบโปรแกรมการลดน้ำหนักค่าสัมประสิทธิ์การถ่วงน้ำหนัก โดยมี ขั้นตอนการทำงานดังรูปที่ 3.1





รูปที่ 3.1 แผนภาพขั้นตอนการปรับแต่งค่าสัมประสิทธิ์การถ่วงน้ำหนัก

จากรูปที่ 3.1 กำหนดค่าเริ่มต้นของโปรแกรม เช่น ค่าความถี่ใช้งาน จำนวนสายอากาศ มุมของคลื่นที่เข้ามา ค่าพารามิเตอร์ที่เป็นเงื่อนไขของสายอากาศ เช่น ค่าความเบี่ยงเบนของทิศทางของคลื่นหลัก ค่าเบี่ยงเบนของความกว้างของคลื่น และค่าสูงสุดของระดับคลื่นบ่อย หลังจากนั้น ก็คำนวณค่าสัมประสิทธิ์การถ่วงน้ำหนักด้วยวิธี IDFT และจึงหาแบบรูปการແเพลิงงานด้วยการนำสัญญาณที่ตัดกรอบไปคูณกับค่าสัมประสิทธิ์การถ่วงน้ำหนัก และคำนวณหาค่าระดับคลื่นบ่อยที่มากที่สุด ความกว้างคลื่นหลัก เพื่อไปเป็นค่าอ้างอิง

ต่อไปให้กำหนดให้ค่าสัมประสิทธิ์การถ่วงน้ำหนัก ที่ได้จากการประมวลผลสัญญาณเชิงตำแหน่งเพียงอย่างเดียวคือ  $W_o = \{w_{o,1}, w_{o,2}, \dots, w_{o,N}\} = \{w_{o,i}\}$  เมื่อ  $i=1,2,\dots,N$  และ  $N$  เป็นจำนวนของสายอากาศ ไปประมาณค่าเป็นจำนวนเต็ม ซึ่งจะกำหนดได้เมตริกซ์ใหม่เป็น  $W_r = \{w_{r,1}, w_{r,2}, \dots, w_{r,N}\} = \{w_{r,i}\}$  ต่อไปทำการกำหนดเงื่อนไขของตัวแปรตามที่ต้องควบคุม คือ ค่าสัมประสิทธิ์การถ่วงน้ำหนักถูกปรับแต่ง นั่นคือ ค่าสัมประสิทธิ์การถ่วงน้ำหนักสูงสุดที่ต้องการ ( $w_0$ ) ทิศทางของคลื่นหลัก ( $\phi_0$ ) ระดับพูลคลื่นรอง ( $MLL_0$ ) และค่าความกว้างของคลื่น ( $\delta_0$ ) ต่อจากนั้นให้ดำเนินตามกระบวนการดังนี้

(1) กำหนดให้ค่าสูงสุดของสัมประสิทธิ์การถ่วงน้ำหนัก ซึ่งหาได้จากการสมการ

$$w_{\max}^{(k)} = \max_{i=1}^N \{w_{r,i}\} \quad (5)$$

เมื่อ  $i$  แทนจำนวนครั้งของการวนรอบ

(2) ลดค่าสัมประสิทธิ์การถ่วงน้ำหนักที่มากที่สุด ( $w_{\max}^k$ ) ด้วยช่วงของการลดค่า (Step size:  $\Delta w$ ) โดยที่  $\Delta w = 0$  และเป็นจำนวนเต็ม ดังนี้

$$w_{\max,j}^{(k)} = \|w_{\max}^{(k)} - \Delta w\| \quad (6)$$

เมื่อ  $j=1,2,3,\dots$  และแทนค่า  $w_{\max,j}^{(k)}$  แทนที่  $w_{\max}^{(k)}$  ในเซตของ  $W_r$  นั่นคือ  $w_{\max,j}^{(k)} \Rightarrow w_{\max}^{(k)}$

(3) ค่าสัมประสิทธิ์การถ่วงน้ำหนักที่ได้คูณกับค่า Steering vector ดังสมการ

$$y_j^{(k)} = \sum w_r e^{((2\pi f/c)(d_1 p \sin \phi + d_2 q \cos \phi))} \quad (7)$$

เมื่อ  $(p, q)$  แทนตำแหน่งของสายอากาศแต่ละองค์ประกอบ

(4) นำแบบรูปการแผ่พลังงานที่ได้ตามสมการที่ 7 มาทำการตรวจสอบแบบรูปการแผ่พลังงาน เพื่อให้เป็นไปตามเงื่อนไขที่กำหนดไว้ โดยที่ ค่าสัมประสิทธิ์การถ่วงน้ำหนักที่มากที่สุด คือ  $w_{\max}^k$  ทิศทางของคลื่น 2 ลำคลื่นหลัก คือ  $\phi_{r_1}^{(k)}$  และ  $\phi_{r_2}^{(k)}$  ตามลำดับ ขนาดของระดับพูคลื่นรอง  $MLL_r^{(k)}$  และความกว้างของลำคลื่นทั้ง 2 คือ โดยมีเงื่อนไขดังนี้

$$w_{\max}^k \leq w_0 \quad (8)$$

$$\phi_0 - \Delta\phi \leq \phi_{r_1}^{(k)} \leq \phi_0 + \Delta\phi \quad (9)$$

$$\phi_0 - \Delta\phi \leq \phi_{r_2}^{(k)} \leq \phi_0 + \Delta\phi \quad (10)$$

$$MLL_r^{(k)} \leq MLL_{\max} \quad (10)$$

$$\delta_{r_1}^{(k)} \leq \delta_0 + \Delta\delta \quad \text{และ} \quad \delta_{r_2}^{(k)} \leq \delta_0 + \Delta\delta \quad (11)$$

เมื่อ  $w_0$  คือ ค่าสัมประสิทธิ์การถ่วงน้ำหนักมากที่สุดที่ต้องการ

$\Delta\phi$  คือ ค่าเบี่ยงเบนของทิศทางของลำคลื่นหลัก

$MLL_{\max}$  คือ ค่าของระดับลำคลื่นรองที่มากที่สุด

$\Delta\delta$  คือ ค่าความกว้างของลำคลื่นหลัก

(5) ทำซ้ำจากขั้นตอนที่ 1 ถึง 4 จนกว่าค่าสัมประสิทธิ์การถ่วงน้ำหนักทั้งหมดจะเป็น 0 หรือ ตามที่เรากำหนดค่า  $w_0$  เราจะได้ค่าสัมประสิทธิ์การถ่วงน้ำหนักที่ปรับแต่งเรียบร้อยแล้วตามที่ต้องการ และมีแบบรูปการแผ่พลังงานที่ได้กำหนดเงื่อนไขไว้

## บทที่ 4

# ผลการจำลองระบบด้วยวิธีการปรับแต่งสำหรับแผนการถ่วงน้ำหนักของตัวก่อรูปลำคลื่นแบบหลายลำคลื่น

### 4.1 กล่าวนำ

ในบทนี้จะนำเสนอผลการจำลองโปรแกรมแมทแลป โดยวิธีการคำนวณหาค่าสัมประสิทธิ์การถ่วงน้ำหนักจากวิธี IDFT เปรียบเทียบเทียบกับ วิธีการปรับแต่งค่าสัมประสิทธิ์การถ่วงน้ำหนักที่ได้พัฒนา และปรับปรุงขึ้นมาใหม่

### 4.2 ผลการจำลองโปรแกรม

โครงสร้างของระบบสายอากาศเก่งที่จำลองขึ้นมา ประกอบด้วยส่วนสำคัญ 2 ส่วน ได้แก่ สายอากาศ ซึ่งเป็นสายอากาศแควลำดับเชิงระนาบ ที่สามารถรับหรือส่งสัญญาณได้ในช่วงความถี่ 1.9-2.5 GHz และส่วนที่สองคือ ระบบประมวลผลสัญญาณ โดยในการประมวลผลสัญญาณของระบบสายอากาศเก่งต้นแบบนี้ใช้วิธีประมวลผลเชิงตำแหน่งเพียงอย่างเดียว ร่วมกับการลดระดับพูข้างด้วยฟังก์ชันเซนเซฟ นอกเหนือไปนี้โปรแกรมระบบสายอากาศเก่งต้นแบบยังถูกออกแบบให้สามารถถอดรูปลำคลื่นได้ 2 ลำคลื่นพร้อมกัน ได้อีกด้วย และค่าสัมประสิทธิ์การถ่วงน้ำหนักที่คำนวณได้จากการประมวลผลดังกล่าวเป็นค่าจริง นำมาทำการปรับแต่งตามขั้นตอนที่ได้กล่าวไว้แล้วในบทที่ 3 โดยเงื่อนไขของการปรับแต่งค่าสัมประสิทธิ์การถ่วงน้ำหนัก กำหนดดังนี้ คือ

กรณีที่ 1 สายอากาศแควลำดับเชิงระนาบมีขนาด  $5 \times 5$  และกำหนดให้

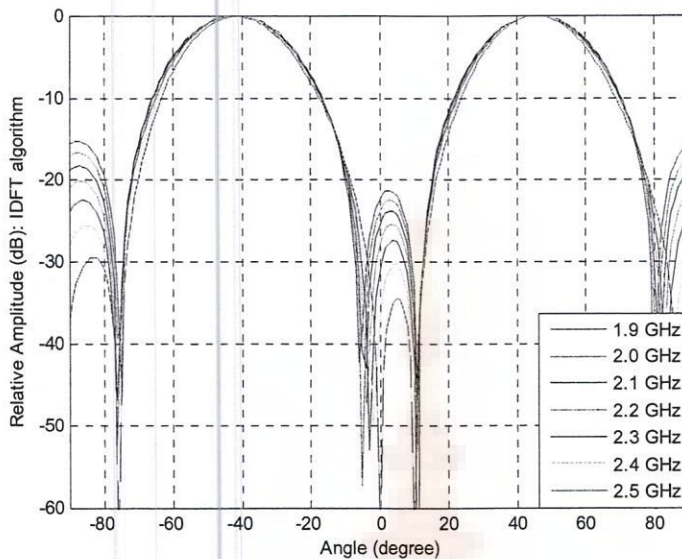
- ค่าของมุมที่เข้ามาคือ  $\phi_{01}$  เท่ากับ -40 องศา และ  $\phi_{02}$  เท่ากับ 45 องศา
- ค่าเบี้ยงเบนของมุมทั้งสอง ไม่เกิน 5 องศา ( $\Delta\phi \leq 5^\circ$ )
- ค่าเบี้ยงเบนของลำคลื่นรอง ไม่เกิน 5 dB ( $\Delta MLL \leq 5dB$ )
- ค่าความกว้างของลำคลื่น ไม่เกิน 5 องศา ( $\Delta\Theta \leq 5^\circ$ )

ผลจากการใช้โปรแกรมที่ได้ออกแบบไว้ปรากฏว่าสามารถลดค่าสัมประสิทธิ์การถ่วงน้ำหนักจาก 37 dB เหลือเพียง 18 dB ซึ่งลดได้ถึง 19 dB และเราได้ใช้ตัวกำหนดของค่าสัมประสิทธิ์การถ่วงน้ำหนัก ถึง 1009 เชต ที่เป็นไปตามเงื่อนไขที่เรากำหนด ส่วนเซตของค่าสัมประสิทธิ์การถ่วงน้ำหนักของสายอากาศทั้ง 25 ตัว ซึ่งเป็นเซตที่ลดค่าสัมประสิทธิ์ได้มากที่สุด และยังเป็นไปตามเงื่อนไขที่เรากำหนด แสดงค่าได้ดังตารางที่ 4.1 ส่วนในรูปที่ 4.1 และ 4.2 แสดงการเปรียบเทียบแบบรูปการแพลตฟอร์มของสายอากาศเก่งที่มุม -40 องศา และ 45 องศา แบบวิธี IDFT

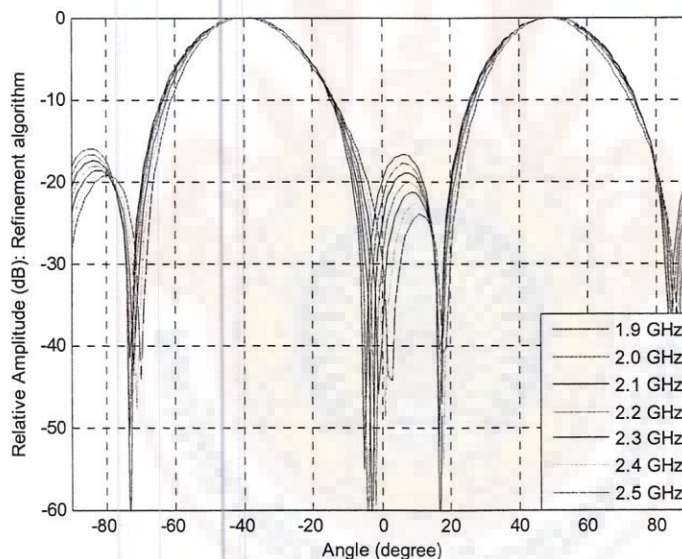
และวิธีการปรับแต่งค่าสัมประสิทธิ์การถ่วงน้ำหนักตามลำดับ ทั้งนี้จะเห็นว่าแบบรูปการແພ พลังงานที่ได้จากการปรับแต่งค่าสัมประสิทธิ์การถ่วงน้ำหนักเป็นไปตามเงื่อนไขที่เรากำหนด

ตารางที่ 4.1 ค่าสัมประสิทธิ์การถ่วงน้ำหนักโดยวิธี IDFT และวิธีการปรับแต่งสัมประสิทธิ์การถ่วงน้ำหนัก จำนวนสายอากาศแคลบ์ 25 ต้น

ลำดับที่ของสายอากาศ	วิธี IDFT	วิธีการปรับแต่ง
1,25	12	12
2,24	24	18
3,23	10	10
4,22	28	18
5,21	11	11
6,20	20	18
7,19	17	17
8,18	14	14
9,17	17	17
10,16	37	18
11,15	9	9
12,14	21	18
13	0	0



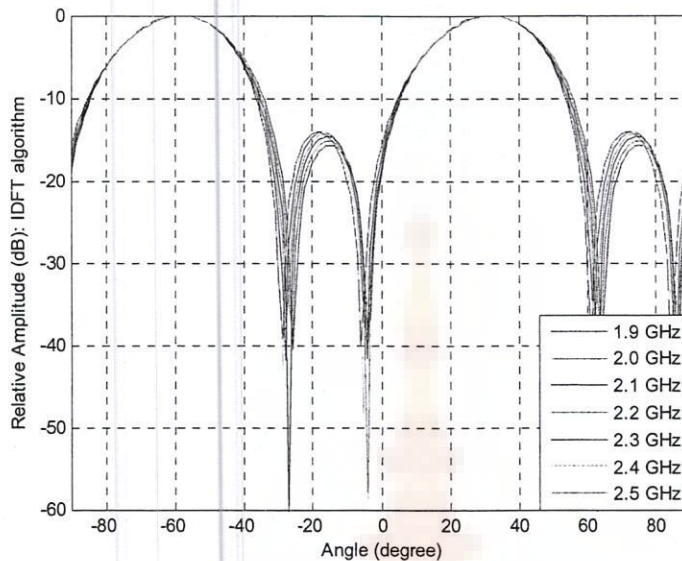
รูปที่ 4.1 แบบรูปการແພັດລັງຈານທີ່ມູນ -40 และ 45 ອົງສາ ໂດຍວິທີ IDFT



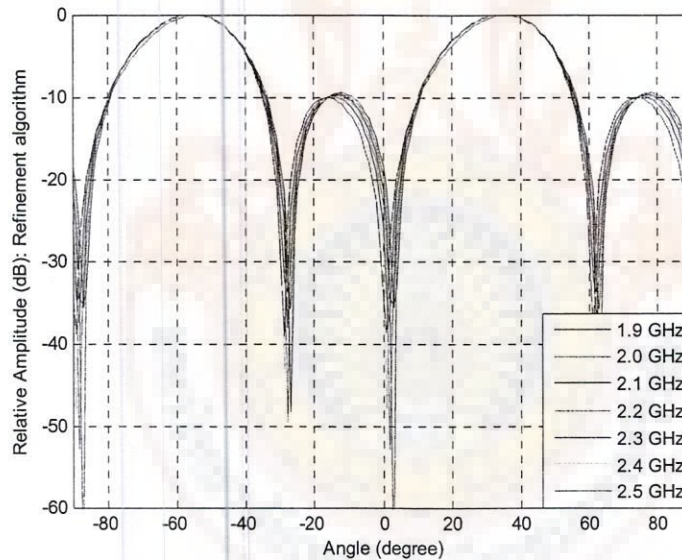
รูปที่ 4.2 แบบรูปการແພັດລັງຈານທີ່ມູນ -40 และ 45 ອົງສາ ໂດຍວິທີການປະບົບແຕ່ງຄ່າ  
ສັນປະສິກີ້ກາຮືອງຄ່ວງນໍ້າຫຼັກ

กรณีที่ 2 ສາຍອາກາສແດວລຳດັບເຊີງຮະນາບມີຂາດ  $5 \times 5$  ແລະ ກຳທັນດໄ້

1. ຄ່າຂອງມູນທີ່ເຂົ້າມາຄືອ  $\phi_{01}$  ເທົ່າກັນ -60 ອົງສາ ແລະ  $\phi_{02}$  ເທົ່າກັນ 30 ອົງສາ
2. ຄ່າເບື້ອງເບີນຂອງມູນທີ່ສອງໄມ່ເກີນ 5 ອົງສາ ( $\Delta\phi \leq 5^\circ$ )
3. ຄ່າເບື້ອງເບີນຂອງລຳຄົ່ນຮອງໄມ່ເກີນ 5 dB ( $\Delta MLL \leq 5 dB$ )
4. ຄ່າຄວາມກວ້າງຂອງລຳຄົ່ນໄມ່ເກີນ 5 ອົງສາ ( $\Delta\Theta \leq 5^\circ$ )



รูปที่ 4.3 แบบรูปการแผ่พลังงานที่มุม -60 และ 30 องศา โดยวิธี IDFT



รูปที่ 4.4 แบบรูปการแผ่พลังงานที่มุม -60 และ 30 องศา โดยวิธีการปรับแต่งค่าสัมประสิทธิ์การถ่วงน้ำหนัก

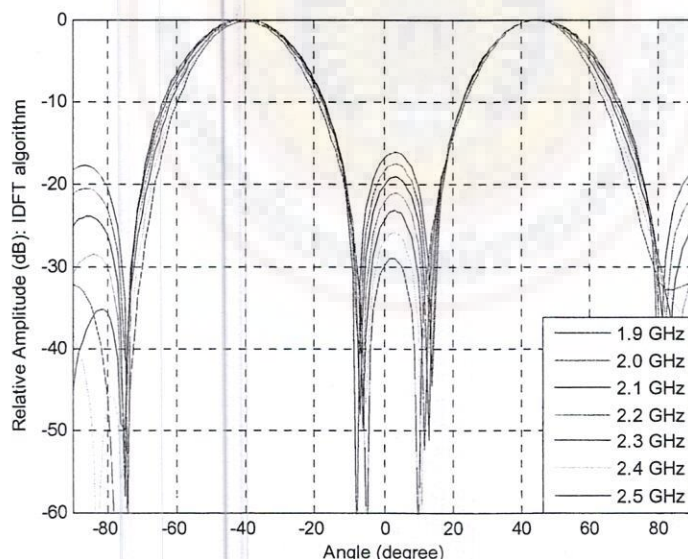
ผลจากการใช้โปรแกรมที่ได้ออกแบบไว้ปรากฏว่าสามารถลดค่าสัมประสิทธิ์การถ่วงน้ำหนักจาก 36 dB เหลือเพียง 13 dB วิ่งลดได้ถึง 23 dB และได้เซตค่าตอบของค่าสัมประสิทธิ์การถ่วงน้ำหนัก ถึง 1231 เช็ค จากการปรับแต่งค่าสัมประสิทธิ์การถ่วงน้ำหนักด้วยวิธีนี้ และเป็นไปตามเงื่อนไขที่เรากำหนด ในรูปที่ 4.3 และ 4.4 แสดงการเปรียบเทียบแบบรูปการแผ่พลังงานของสายอากาศเก่งที่มุม -60 องศา และ 30 องศา แบบวิธี IDFT และวิธีการปรับแต่งค่าสัมประสิทธิ์การ

ถ่วงน้ำหนัก ตามลำดับ ทึ้งนี้จะเห็นว่าแบบรูปการแพร่พลังงานที่ได้จากการปรับแต่งค่า สัมประสิทธิ์การถ่วงน้ำหนักเป็นไปตามเงื่อนไขที่เรากำหนด

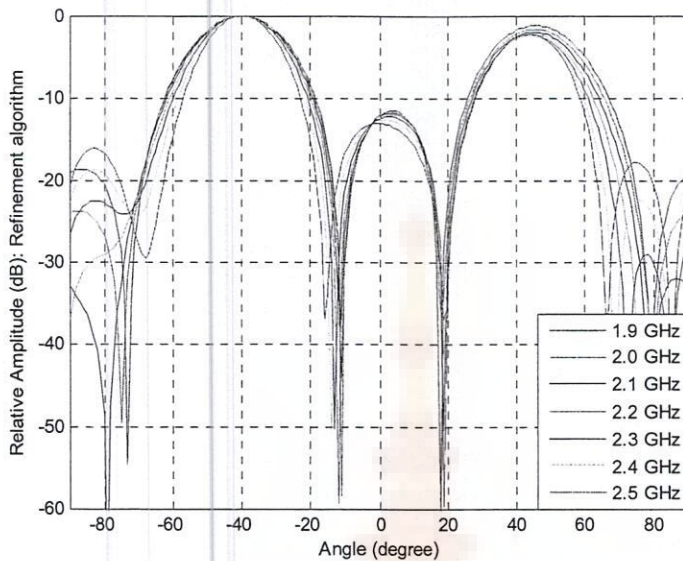
กราฟที่ 3 สายอากาศแควร์ลำดับเชิงระนาบมีขนาด  $6 \times 6$  และกำหนดให้

1. ค่าของมุมที่เข้ามาคือ  $\phi_{01}$  เท่ากับ  $-40$  องศา และ  $\phi_{02}$  เท่ากับ  $45$  องศา
2. ค่าเบียงเบนของมุมทั้งสองไม่เกิน  $5$  องศา ( $\Delta\phi \leq 5^\circ$ )
3. ค่าเบียงเบนของคำลีนรองไม่เกิน  $5$  dB ( $\Delta MLL \leq 5$  dB)
4. ค่าความกว้างของคำลีนไม่เกิน  $5$  องศา ( $\Delta\Theta \leq 5^\circ$ )

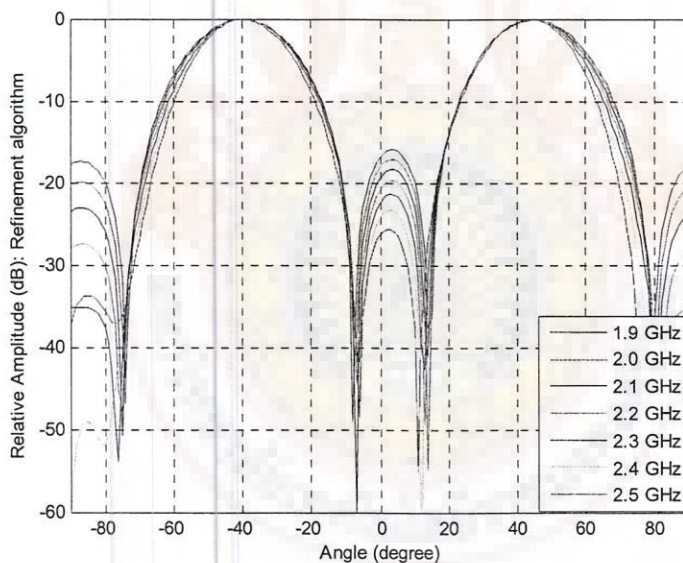
ผลจากการใช้โปรแกรมที่ได้ออกแบบไว้ประกอบว่าสามารถลดค่าสัมประสิทธิ์การถ่วงน้ำหนักจาก  $25$  dB เหลือเพียง  $5$  dB ซึ่งลดได้ถึง  $20$  dB และยังอยู่ในเงื่อนไขที่เรากำหนด แต่จากรูปที่ 4.5 และ 4.6 เปรียบเทียบกันจะเห็นว่า รูปที่ 4.6 จะมีการเปลี่ยนรูปของคำลีนในบางความถี่ที่แตกต่างไปจากเดิมบ้าง เช่น ความลึกของจุดศูนย์ที่ไม่เหมือนรูปเดิม ดังนั้นเราจึงอาจเลือกเซตของค่าตอบที่ได้จากรูปนี้ใหม่ ซึ่งยังคงให้แบบรูปการแพร่พลังงานที่ไม่ผิดเพี้ยนไปจากเดิมมาก โดยในรูปที่ 4.7 เมื่อเลือกเซตค่าตอบที่มีค่าสัมประสิทธิ์การถ่วงน้ำหนักที่มีค่ามากที่สุดเป็น  $20$  จะเห็นว่า รูปแบบการแพร่พลังงานไม่เปลี่ยนแปลงไปมากนัก และยังคงคุณสมบัติของแบบรูปการแพร่พลังงาน ดังที่เราต้องการ



รูปที่ 4.5 แบบรูปการแพร่พลังงานที่มุม  $-40$  และ  $45$  องศา โดยวิธี IDFT



รูปที่ 4.6 แบบรูปการแผ่พลังงานที่มุม  $-40$  และ  $45$  องศา โดยวิธีการปรับแต่งค่าสัมประสิทธิ์การถ่วงน้ำหนัก

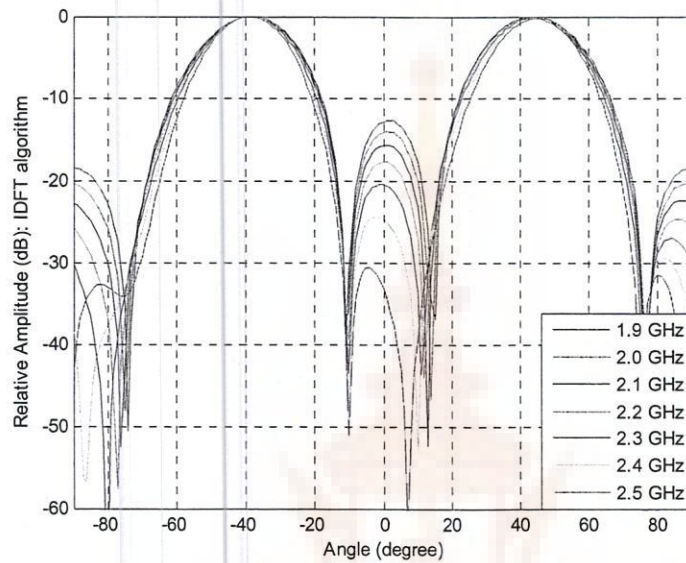


รูปที่ 4.7 แบบรูปการแผ่พลังงานที่มุม  $-40$  และ  $45$  องศา โดยวิธีการปรับแต่งค่าสัมประสิทธิ์การถ่วงน้ำหนัก เมื่อค่าสัมประสิทธิ์การถ่วงน้ำหนักที่มากที่สุดเท่ากับ  $20$  dB

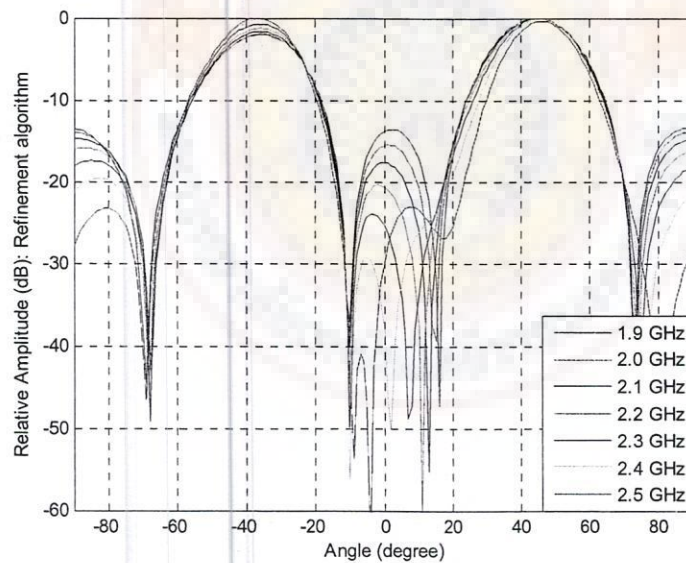
กรณีที่ 4 สายอากาศแคล้มเชิงระนาบมีขนาด  $7 \times 7$  และกำหนดให้

1. ค่าของมุมที่เข้ามาคือ  $\phi_{01}$  เท่ากับ  $-40$  องศา และ  $\phi_{02}$  เท่ากับ  $45$  องศา
2. ค่าเบี้ยงเบนของมุมทั้งสองไม่เกิน  $5$  องศา ( $\Delta\phi \leq 5^\circ$ )
3. ค่าเบี้ยงเบนของลำคลื่นรองไม่เกิน  $5$  dB ( $\Delta MLL \leq 5$  dB)

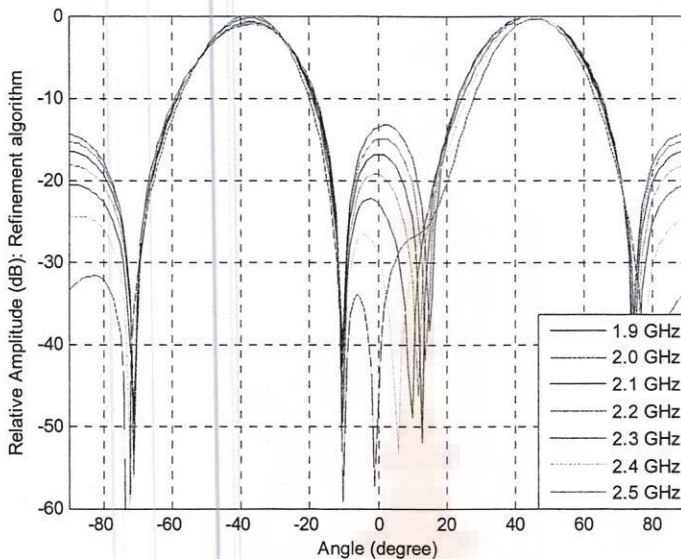
4. ค่าความกว้างของลำคลื่นไม่เกิน 5 องศา ( $\Delta\Theta \leq 5^\circ$ )



รูปที่ 4.8 แบบรูปการແພັ່ພລັງຈານທີ່ມູນ -60 ແລະ 30 ອອກສາ ໂດຍວິທີ IDFT



ຮູບທີ່ 4.9 ແບບຮູປກາຣແພັ່ພລັງຈານທີ່ມູນ -60 ແລະ 30 ອອກສາ ໂດຍວິທີກາຣປະບົບແຕ່ງຄ່າ  
ສັນປະລິທີກາຣຄ່ວງນໍ້າຫຼັກ



รูปที่ 4.10 แบบรูปการแผ่พลังงานที่มุม  $-60$  และ  $30$  องศา โดยวิธีการปรับแต่งค่าสัมประสิทธิ์การถ่วงน้ำหนัก เมื่อค่าสัมประสิทธิ์การถ่วงน้ำหนักที่มากที่สุดเท่ากับ  $25$  dB

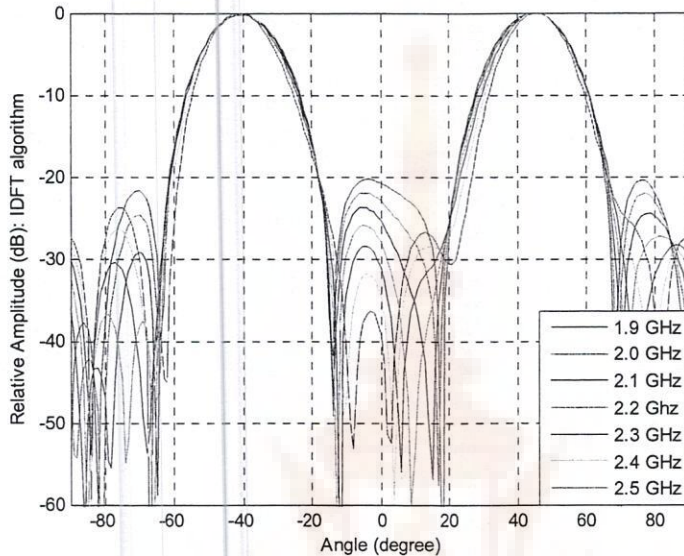
ผลจากการใช้โปรแกรมที่ได้ออกแบบไว้ปรากฏว่าสามารถลดค่าสัมประสิทธิ์การถ่วงน้ำหนักจาก  $38$  dB เหลือเพียง  $21$  dB ลดได้ถึง  $17$  dB ดังแสดงในรูปที่ 4.8 และ 4.9 แสดงการเปรียบเทียบแบบรูปการแผ่พลังงานของสายอากาศเก่งที่มุม  $-40$  องศา และ  $45$  องศา แบบวิธี IDFT และวิธีการปรับแต่งค่าสัมประสิทธิ์การถ่วงน้ำหนัก ตามลำดับ ทั้งนี้จะเห็นว่าแบบรูปการแผ่พลังงานที่ได้จากการปรับแต่งค่าสัมประสิทธิ์การถ่วงน้ำหนักเป็นไปตามเงื่อนไขที่เรากำหนด แต่แบบรูปการแผ่พลังงานก็ยังมีความผิดเพี้ยนไปจากเดิม จึงเลือกที่ค่าสัมประสิทธิ์การถ่วงน้ำหนักที่มากที่สุดเท่ากับ  $25$  dB แสดงแบบรูปการแผ่พลังงานดังรูปที่ 4.10 ซึ่งลดค่าสัมประสิทธิ์การถ่วงน้ำหนักได้ถึง  $13$  dB

#### กรณีที่ 5 สายอากาศແเวลาลำดับเชิงระนาบมีขนาด $8 \times 8$ และกำหนดให้

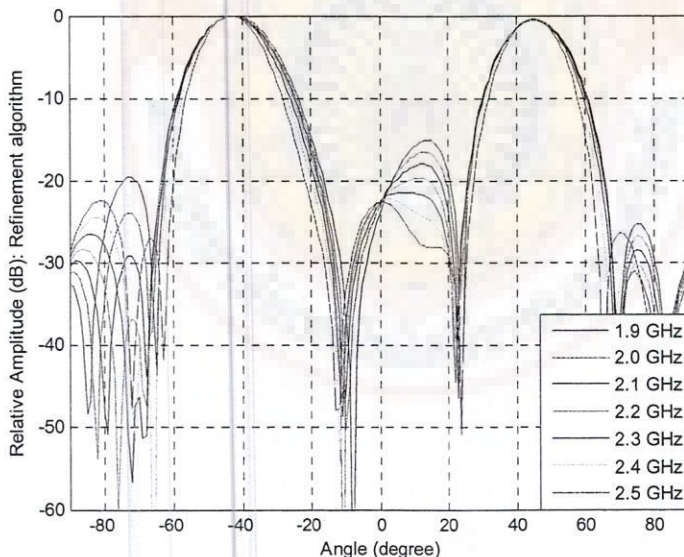
1. ค่าของมุนที่เข้ามาคือ  $\phi_{01}$  เท่ากับ  $-40$  องศา และ  $\phi_{02}$  เท่ากับ  $45$  องศา
2. ค่าเบี่ยงเบนของมุนทั้งสองไม่เกิน  $5$  องศา ( $\Delta\phi \leq 5^\circ$ )
3. ค่าเบี่ยงเบนของลำคลื่นรองไม่เกิน  $5$  dB ( $\Delta MLL \leq 5dB$ )
4. ค่าความกว้างของคลื่นไม่เกิน  $5$  องศา ( $\Delta\Theta \leq 5^\circ$ )

ผลจากการใช้โปรแกรมที่ได้ออกแบบไว้ปรากฏว่าสามารถลดค่าสัมประสิทธิ์การถ่วงน้ำหนักจาก  $28$  dB เหลือเพียง  $9$  dB ลดได้ถึง  $19$  dB และเซตของคำตอบทั้งหมดเป็น  $838$  เชต โดยที่คุณสมบัติของแบบรูปการแผ่พลังงานไม่ผิดเพี้ยน ดังแสดงในรูปที่ 4.11 และ 4.12 แสดงการ

เปรียบเทียบแบบรูปการแผลงงานของสายอากาศเก่งที่มุม -40 องศา และ 45 องศา แบบวิธี IDFT และวิธีการปรับแต่งค่าสัมประสิทธิ์การค่วงนำหนัก ตามลำดับ



รูปที่ 4.11 แบบรูปการแผลงงานที่มุม -40 และ 45 องศา โดยวิธี IDFT

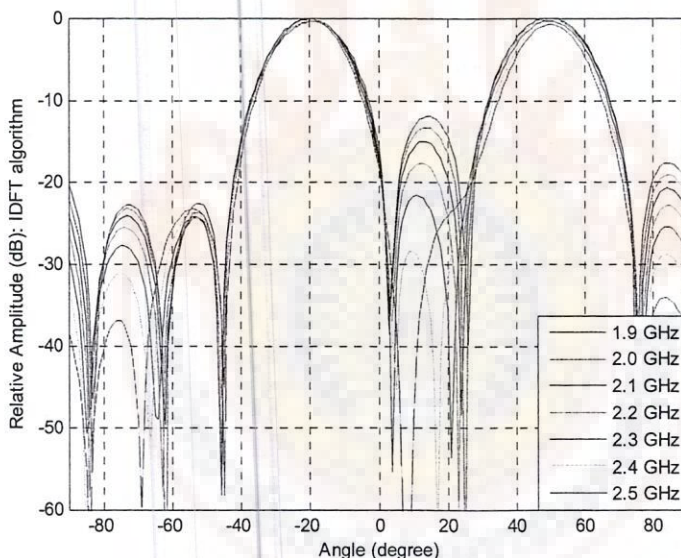


รูปที่ 4.12 แบบรูปการแผลงงานที่มุม -40 และ 45 องศา โดยวิธีการปรับแต่งค่า สัมประสิทธิ์การค่วงนำหนัก

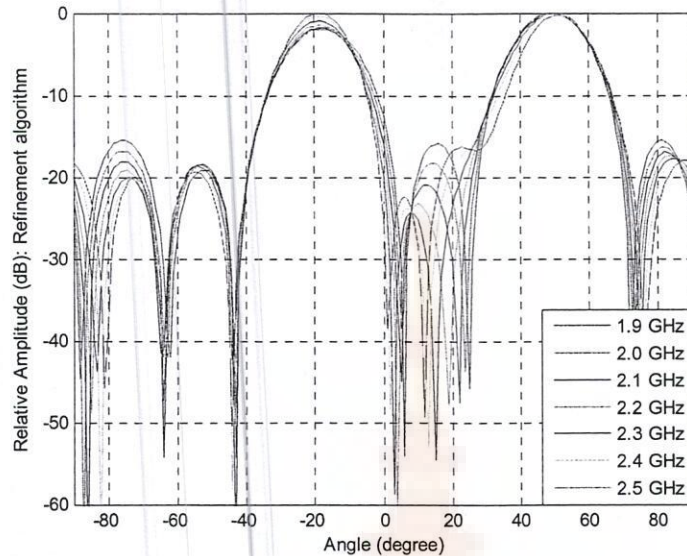
กรณีที่ 6 สายอากาศแผลวลำดับเชิงระนาบมีขนาด  $8 \times 8$  และกำหนดให้

1. ค่าของมุนที่เข้ามาคือ  $\phi_{01}$  เท่ากับ -20 องศา และ  $\phi_{02}$  เท่ากับ 50 องศา
2. ค่าเบี้ยงเบนของมุนทั้งสองไม่เกิน 5 องศา ( $\Delta\phi \leq 5^\circ$ )
3. ค่าเบี้ยงเบนของลำคลื่นรองไม่เกิน 5 dB ( $\Delta MLL \leq 5dB$ )
4. ค่าความกว้างของลำคลื่นไม่เกิน 5 องศา ( $\Delta\Theta \leq 5^\circ$ )

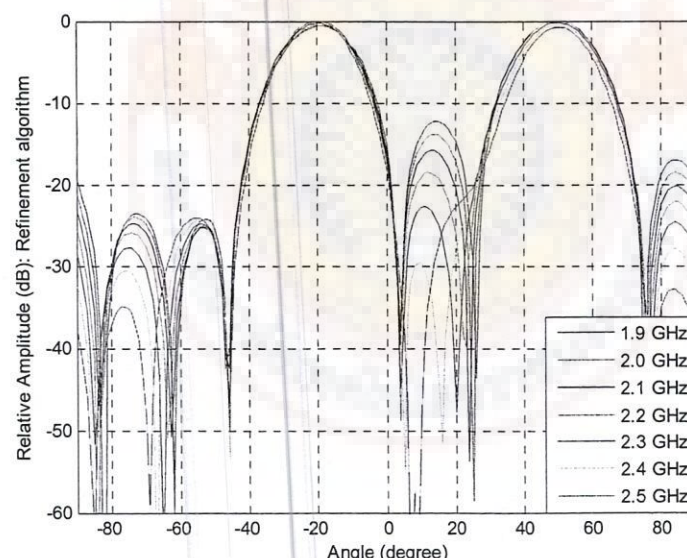
เมื่อกำหนดให้โปรแกรมวนรอบจนค่าสัมประสิทธิ์การถ่วงน้ำหนักมีค่าเป็น 0 และได้เซต คำตอบสุดท้าย ที่มีค่าสัมประสิทธิ์การถ่วงน้ำหนักมากที่สุด คือ 13 dB จากค่าสัมประสิทธิ์การถ่วงน้ำหนักจากวิธี IDFT คือ 36 dB จะเห็นว่าลดได้ถึง 23 dB แต่อย่างไรก็ตามในรูปที่ 4.14 ที่มีความผิดเพี้ยนจากรูปที่ 4.13 จึงเลือกเซตคำตอบที่มีค่าสัมประสิทธิ์การถ่วงน้ำหนักมากที่สุดที่ 25 dB ได้แบบรูปการแผ่นพลังงานดังรูปที่ 4.15



รูปที่ 4.13 แบบรูปการแผ่นพลังงานที่มุน -20 และ 50 องศา โดยวิธี IDFT



รูปที่ 4.14 แบบรูปการแผ่พลังงานที่มุ่ง -20 และ 50 องศา โดยวิธีการปรับแต่งค่าสัมประสิทธิ์การถ่วงน้ำหนัก



รูปที่ 4.15 แบบรูปการแผ่พลังงานที่มุ่ง -20 และ 50 องศา โดยวิธีการปรับแต่งค่าสัมประสิทธิ์การถ่วงน้ำหนัก เมื่อค่าสัมประสิทธิ์การถ่วงน้ำหนักที่มากที่สุดเท่ากับ 25 dB

อย่างไรก็ตามเราจะเห็นว่าจากการปรับแต่งค่าสัมประสิทธิ์การถ่วงน้ำหนัก เมื่อเราปล่อยให้รันโปรแกรมจนค่าสัมประสิทธิ์การถ่วงน้ำหนักทุกตัวถูกเป็นศูนย์เราจะได้เซตค่าตอบของค่า

สัมประสิทธิ์การถ่วงน้ำหนักภายในตัวเรื่องแบบนี้ ไม่ใช่ของค่าเบี่ยงเบนของมนุษย์ ค่าเบี่ยงเบนของลำคลื่นร่อง และค่าความกว้างของลำคลื่น ในขณะเดียวกันเราจึงสามารถกำหนดค่าสัมประสิทธิ์การถ่วงน้ำหนักที่มากที่สุดที่เราต้องการให้โปรแกรมรันหาเซตของคำตอบตามเงื่อนไขที่เราตั้งไว้ได้ ซึ่งเป็นข้อดีของโปรแกรมการปรับแต่งทั้งนี้ขึ้นอยู่กับลักษณะการใช้งานที่แตกต่างกันออกไป และความสามารถในการหาอุปกรณ์รองรับในระบบจริง อย่างไรก็ตามการใช้โปรแกรมการปรับแต่งกับลำคลื่นซึ่งมีลำคลื่นที่มากกว่า 2 ลำคลื่นขึ้น ควรเลือกใช้การปรับแต่งกับสายอากาศที่มีขนาดตั้ง 8×8 ขึ้นไป จึงจะมีความเหมาะสม ซึ่งในความเป็นจริงแล้วสายอากาศแคลดับที่มีโครงสร้างขนาดใหญ่ และไม่เหมาะสมที่จะนำมาใช้งานได้จริง

## บทที่ 5

### สรุปผลการทดลอง

เนื่องจากความต้องการการสื่อสารของระบบโทรศัพท์เคลื่อนที่เพิ่มปริมาณความต้องการใช้ปริมาณข้อมูลที่เพิ่มขึ้นอย่างรวดเร็ว และมากตามยามหาศาล รวมทั้งการเปลี่ยนแปลงเข้าสู่การวิวัฒนาการของเทคโนโลยีโทรศัพท์เคลื่อนที่ในยุคที่ 4 และ ยุคที่ 5 (3G และ 4G) เพื่อที่จะรับมือกับความต้องการสำหรับการสื่อสารอัตราการส่งข้อมูลในระดับสูงที่ผู้ใช้มีความต้องการใช้งานข้อมูลในหลากหลายรูปแบบ ไม่ว่าจะเป็น เสียง ภาพ ภาพเคลื่อนไหว การส่งข้อความ เป็นต้น สิ่งเหล่านี้ต้องการระบบที่รองรับความสามารถในการรองรับการรับส่งปริมาณข้อมูลจำนวนมาก และรวดเร็ว ระบบสายอากาศเก่ง หรือ Smart Antenna เป็นระบบที่มีความสามารถในการรองรับกับความต้องการใช้งานข้อมูลปริมาณสูง ได้ ระบบสายอากาศเก่ง ประกอบไปด้วยส่วนสำคัญๆ 2 ส่วน คือ สายอากาศแคลดับ และส่วนประมวลผลสัญญาณ โดยในส่วนที่สองนี้เองซึ่งเป็นส่วนที่ทำให้สายอากาศเก่งมีความสามารถเก่งเหนือสายอากาศอื่นๆ นอกจากนี้อัลกอริธึมของระบบสายอากาศเก่ง ได้ถูกพัฒนาให้สามารถรองรับการใช้งานที่แนบความถี่กว้าง ด้วยวิธีการที่ไม่ยุ่งยาก วิธีนี้เรียกว่าวิธีการประมวลผลเชิดตำแหน่งเพียงอย่างเดียว (Only Spatial Beam-forming) โดยส่วนประกอบของสายอากาศเก่งที่ใช้ในแนบความถี่กว้างประเภทนี้ ประกอบด้วย ส่วนของสายอากาศแคลดับ เชิงระนาบ และส่วนของตัวลดตอน หรือตัวขยายกำลัง โดยค่าสัมประสิทธิ์การถ่วงน้ำหนักที่ได้จากวิธี IDFT ทำให้สายอากาศลดความยุ่งยากในการสร้าง และราคาถูกลงจากวิธีเดิมๆ

อย่างไรก็ตามค่าสัมประสิทธิ์น้ำหนักที่ได้รับไม่ได้เป็นจำนวนเต็ม และค่าระหว่างค่าสูงสุด และต่ำสุด (ช่วงแบบไนโตรมิก) สัมประสิทธิ์น้ำหนักค่อนข้างสูง ดังนั้นงานวิจัยนี้ได้เสนอขั้นตอนวิธีการที่จะแก้ปัญหาเหล่านี้ โดยเรียกขั้นตอนกระบวนการเหล่านี้ว่า วิธีการปรับแต่ง (Refinement Method)

ตารางสำคัญสำหรับงานวิจัยชิ้นนี้จึงเป็นการนำเสนอวิธีการปรับแต่งสัมประสิทธิ์การถ่วงน้ำหนัก ที่ได้จากวิธี IDFT โดยได้วิเคราะห์แบบรูปการແเพลิงงานของสายอากาศเก่งที่สามารถก่อรูปคลาดื่นได้พร้อมๆ กันในหลายๆ ทิศทาง โดยกำหนดเงื่อนไขคุณสมบัติของแบบรูปการແเพลิงงานเพื่อให้ได้แบบรูปการແเพลิงงานที่ได้ใหม่จากการปรับแต่ง ไม่มีความแตกต่างไปจากเดิมมากนัก โดยกำหนดให้มีค่าเบี่ยงเบนของแบบรูปการແเพลิงงาน ดังนี้

- ค่าเบี่ยงเบนของมุมที่เข้ามา
- ค่าเบี่ยงเบนของคลาดื่นรองสูงสุด
- ค่าเบี่ยงเบนของความกว้างของคลาดื่น

จากผลการจำลองวิธีการปรับแต่งค่าสัมประสิทธิ์การถ่วงน้ำหนักด้วยโปรแกรม MATLAB เมื่อสายอากาศแคลดับเชิงระบบทำงานที่ความถี่  $1.9 - 2.5 \text{ GHz}$  และกำหนดให้โครงสร้างของสายอากาศมีขนาดตั้งแต่  $5 \times 5$  ถึง  $8 \times 8$  เมื่อกำหนดให้ค่ามุนที่เราเข้ามาที่มุน  $-40$  และ  $45$  องศา แบบรูปการแพเพลنجงาน ค่าเบี้ยงเบนการของมุนทั้งสองไม่เกิน  $5$  องศา ค่าเบี้ยงเบนของลำคลื่นรองไม่เกิน  $5 \text{ dB}$  และค่าความกว้างของลำคลื่นไม่เกิน  $5$  องศา ผลปรากฏว่าแบบรูปการแพเพลنجงานที่ได้จากการปรับแต่งมีคุณสมบัติที่เป็นไปตามเงื่อนไขที่เรากำหนด และยังได้แสดงแบบรูปการแพเพลنجงานที่มุนอื่นๆ พร้อมทั้งแสดงให้เห็นว่า สามารถเลือกเซตของคำตอบที่เหมาะสมจากเซตของคำตอบที่ได้จากการปรับแต่งค่าสัมประสิทธิ์การถ่วงน้ำหนักที่จำลองได้จากโปรแกรม ดังนั้น จะเห็นได้ว่าวิธีการปรับแต่งช่วยให้ลดช่วงของคำการถ่วงน้ำหนักลงมาได้ ทำให้มีอนาคตสร้างเป็นระบบสายอากาศเก่งจริงๆ ก็สามารถลดค่าใช้จ่ายในการสร้างระบบสายอากาศลงได้ นอกจากนี้ ความสามารถในการซึ่พิคได้  $2$  พิศพร้อมๆ กันเป็นการระบุพื้นที่ที่ต้องการใช้งานจริง ทำให้ไม่สูญเสียพลังงานไปในทิศทางอื่นๆ ที่เราไม่ต้องการได้

## รายการอ้างอิง

- [1] ลัษณกร วุฒิสิทธิกุลกิจ. 2546. หลักการระบบโทรศัพท์เคลื่อนที่. สำนักพิมพ์แห่งจุฬาลงกรณ์มหาวิทยาลัย กรุงเทพ. หน้า 2-3.
- [2] S. Simanapalli, "Adaptive methods for mobile Communication," *IEEE Vehicular Technology Conference 44<sup>th</sup>*, pp. 1503-1506, 1994.
- [3] M. Uthansakul and M. E. Bialkowski, "A Wideband Spatial Beamformer Employing a Rectangular Array of Planar Monopoles," *Proc. IEEE Int. Ant. and Prop. Symp., Washington 3-8 July, 2005*.
- [4] Y. Huang, W. Tidd, A. Olson and R. S. Wolff, "A Compact Smart Antenna for Wimax Radio," *IEEE MWS'09*, pp. 169-173, 2009.
- [5] S. P. Applebaum, "Adaptive arrays", Syracuse University Research Corporation Report, SPL TR 66-1, Aug. 1966.
- [6] H. Krim and M. Viberg, "Two Decades of Array Signal Processing Research," *IEEE Signal Processing Magazine*, pp.67-94, July 1996.
- [7] B. D. Rao and K.V.S. Hari, "Performance analysis of ESPRIT and TAM in Determining the Direction of Arrival Plane Waves in Noise," *IEEE Trans. ASSP, ASSP-37*, pp. 1990-1995, Dec. 1989.
- [8] J. C. Libert and T. S. Rappaport, "Smart Antenna for Wireless Communication: IS-95 and Third Generation CDMA Applications," Prentice Hall PRT, NJ, 1999.
- [9] C. Seungwon, D. Shim and T. K. Sarkar, "A Comparison of Tracking-Beam Arrays And Switching-Beam Arrays Operating in a CDMA Mobile Communication Channel," *IEEE Ant. and Prop. Mag., Vol. 41*, pp. 10-56, Dec. 1999.
- [10] C. F. du Toit, O. P. Gupta, W. J. Brown, D. He, J. Patel, P.F. Acsi, C. Sui and M. Peyghaleh, "Smart Multibeam Phased Array Antenna for GSM, GPRS and EDGE," in *Proc. IEEE Inter. Sym. On Phase Array Systems and Tech*, pp. 146-151, Oct. 2003.
- [11] M. Ghavami, "Wideband Smart Antenna Theory using Rectangular Array Structures," *IEEE Trans. On Sig. Proc., Vol. 50, No.9*, pp.2431-2151, Sept. 2002.
- [12] M. Uthansakul and M. E. Bialkowski, "Impact of Wideband Signals on Smart Antenna System," *Proc. of MIKON, Vol. 2*, pp. 501-504, May 2004.

- [13] R. Kohno, "Spatial and Temporal Communication Theory Using Adaptive Array," *IEEE Presonal Communication, Vol. 5, No.1, pp.28-35, Feb. 1998.*
- [14] M. Hefnawi and G. Y. Delisle, "Performance analysis of Wideband Smart Antenna System Using Difference Frequency Compensation Techniques," *Proc. IEEE Symp. Comput. Comm. pp. 237-242, July 2001.*
- [15] M. Uthansakul and M. E. Bialkowski, "An Investigation of a Smart Antenna System for Wideband Communications," *Proc. of MIKON, Vol. 2, pp. 505-508, 17-21 May 2004.*
- [16] M. Uthansakul and M. E. Bialkowski, "Fully Spatial Wide-Band Beamforming Using a Rectangular Array of Planar Monopoles," *IEEE Trans. Ant. and Prop., Vol. 54, pp. 527-533, Feb. 2006.*
- [17] C Bunsanit, P. Uthansakul, R. Wongsan, M. Uthansakul, "Low Profile Multi-Beam Former Operating in Wide Frequency Band," *ECTI-CON 6<sup>th</sup> International Conference, Vol.22, pp. 774-777, 2009.*
- [18] M. Uthansakul and M. E. Bialkowski, "Wideband Beam and Null Steering Using a Rectangular Array of Planar Monopoles," *IEEE Microwave and Wireless Components Letter, Vol. 16, No.3, pp. 116-118, Mar. 2006.*
- [19] J.M.M. Silva, S. Roy, P. Fortier, "The impact on the capacity of a GSM/GPRS system using space-time processing technique," *Electrical and Computer Engineering, Vol.2, pp.977-980 May. 2003.*
- [20] R. Monzingo, T. Miller, "Introduction to Adaptive Arrays" Wiley and Sons, NY, 1980.
- [21] B. Widrow and S.D. Stearns, "Adaptive Sigal Processing," Prentice Hall, N.J.1985.
- [22] M. Uthansakul and M. E. Bialkowski, "DOA Estimation by a Smart Antenna with Non-Uniform Component operating in a Wide Frequency Band," to appear in *Proc. 7<sup>th</sup> International Symp. On Digital Signal Procs. and Comm. Syst., Australia, Dec. 2003.*
- [23] M. Uthansakul and M. E. Bialkowski, "A Smart Antenna with Non-Uniform Components for a Wideband Communication System," *Proc. Asia Pacific Microwave Conference, Vol. 3, pp. 1542-1545, Nov. 2003.*
- [24] M. Uthansakul and M. E. Bialkowski, "An Investigation into Wideband Performance of a Rectangular Array of Planar Monopoles," in *Proc. 9<sup>th</sup> Australian Symp. Antennas, Sydney, Australia, Feb. 2005.*

- [25] M. Uthansakul and M. E. Bialkowski, "Suppression of Multiple Wideband Interferences with The Use of a Wideband Spatial Beamformer," *Proc. IEEE Int. Ant. and Prop. Symp.*, pp. 9-15, June. 2007.
- [26] M. Uthansakul and M. E. Bialkowski, "Wideband Beam Forming with a Rectangular Array Antenna," *IEEE Wireless Technology*, pp. 63-66, Oct. 2005.
- [27] M. Uthansakul and M. E. Bialkowski, "An Array Antenna with Wideband Beam Steering Capability Employing Spatial Signal Processing," *Proc. of MIKON*, pp. 469-472, 22-24 May 2006.
- [28] M. Uthansakul and P. Uthansakul, "Null Steering Scheme for Wideband Spatial Beamformer," *IEEE Microwave Conference on APMC*, pp. 1-4, 11-14 December 2007.
- [29] M. Uthansakul and M. E. Bialkowski, "Design a Wideband Spatial Beamformer for Low Sidelobe Radiation Pattern Performance," *IEEE Microwave Conference on APMC*, Vol. 3, 2007.
- [30] M. Uthansakul and M. E. Bialkowski, "Investigation into a Wideband Spatial beamformer employing a rectangular Array of Planar Monopoles," *IEEE Antenna and Propagation Magazine*, Vol. 47, pp.91-99, 2006.
- [31] M. Uthansakul and M. E. Bialkowski, "Wideband Smart Antenna Using Non-Uniform Components," *Proc. of MIKON*, pp. 70-73, 2004.
- [32] M. Uthansakul and M. E. Bialkowski, "Design and Performance Assessment of a Wideband Smart Antenna Employing Only Spatial Processing," *Antenna and Propagation Society International Symposium*, pp. 2525-2528, 2006.
- [33] M. Uthansakul and M. E. Bialkowski, "An Investigation into Smart Antenna Configurations for Wideband Communication," *Proc. of MIKON 15<sup>th</sup>*, Vol.2 pp. 505-508, 2004.
- [34] M. Uthansakul and M. E. Bialkowski, "Frequency-Angle Dependence Compensations of Non-Uniform Components for Wideband Smart Antenna," *IEEE Proc. of Microwave Symposium Digest*, Vol.2 pp. 1253-1256, 2004.
- [35] S. S Jeon, Y. Wang, Y. Qian, and T. Itoh, "A Novel Smart Antenna System Implementation for Broad-band Wireless Communications," *IEEE Trans. on Ant. and Prop.*, Vol. 50, No. 5, pp. 600-606, May 2002.

- [36] F. W. Vook and R. T. Compton, "Bandwidth Performance of Linear Adaptive Arrays with Tapped Delay-line Processing," *IEEE Trans. Aerospace and Electronic System.*, Vol. 28, pp. 901-908, 1992.
- [37] T. D. Hong and P. Russer, "Signal Processing for Wideband Smart Antenna Array Applications," *IEEE Microwave Magazine*, Vol. 5, pp. 57-67, Mar. 2004.
- [38] L. Y. Materum and J. S. Marciano , "Wideband Nulling Capability Estimate of a Tapped Delay Line Beamformer," in proc. *IEEE Conf. on Wirl. Comm. Tech.*, pp.386-387, 2003.